

Evenly bedded Pennsylvanian strata in southern Utah.

Courtesy of Spence Air Photos

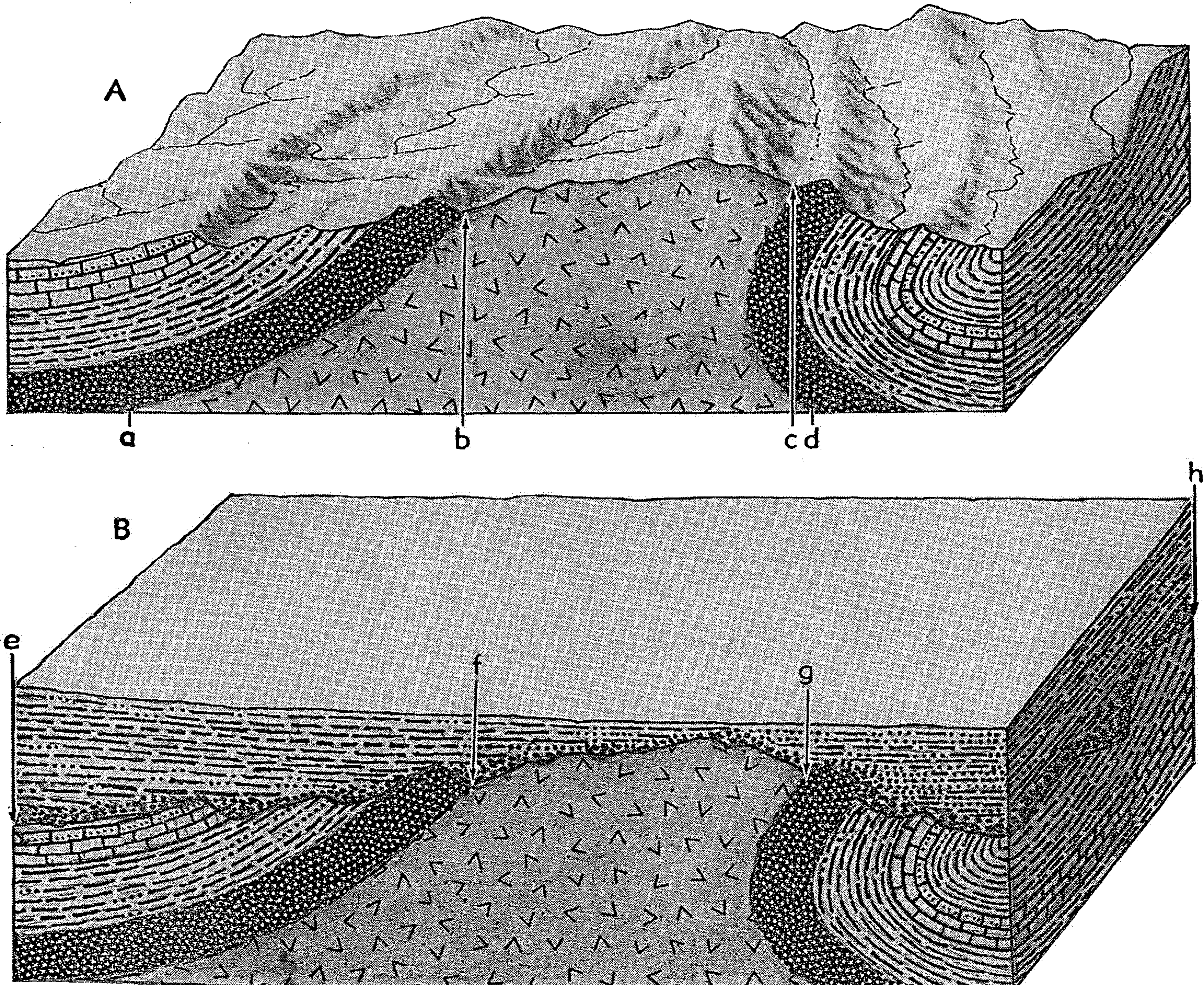


Fig. 1.23 Types of unconformities: nonconformity and angular unconformity. The upper diagram (A) shows a succession of stratified rocks that originally lay nearly flat, resting nonconformably on massive crystalline rocks; crustal deformation followed by erosion has produced conditions shown in A, the nonconformity at base of the sandstone (black) being represented from *a* to *b* and *c* to *d* but being destroyed by postuplift erosion between *b* and *c*. The lower diagram (B) shows flat-lying younger deposits resting unconformably on the older rocks of this region. The unconformity at the base of the younger rocks is classed as an angular unconformity from *e* to *f* and *g* to *h* but as a nonconformity between *f* and *g*. Note that the nonconformity *a* to *b* (= *f*) to *c* (= *g*) to *d* is physically continuous but very different from place to place in the geologic history indicated.

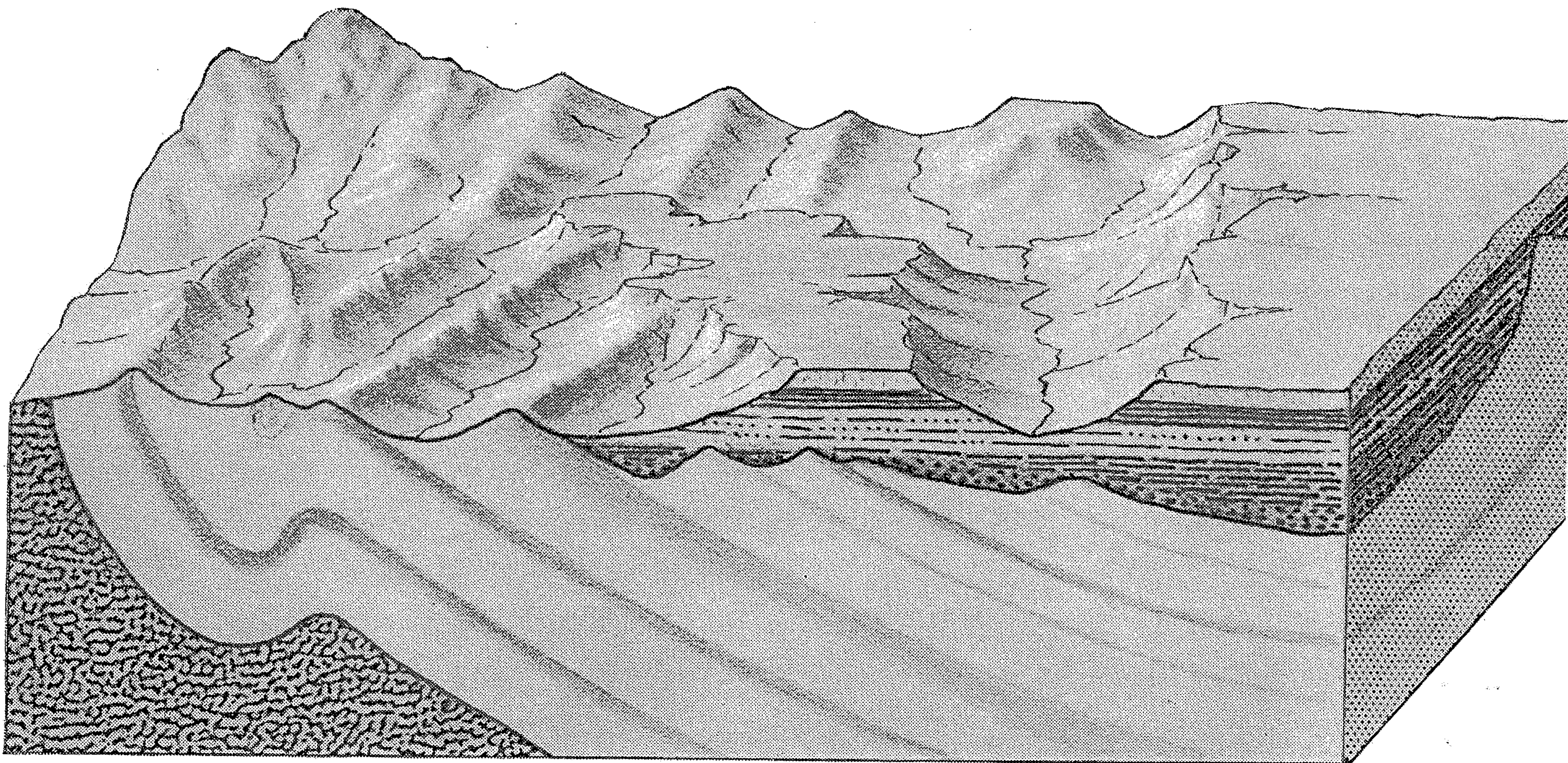


Fig. 1.20 Geologic dating of crustal deformation. The diagram, which represents part of the eastern border of the Rocky Mountains, shows two sequences of stratified rocks having discordant structure. The tilted and folded beds were truncated by erosion before deposition of the horizontal overlying series. Hard rocks of the folded series make hogbacks, and weak strata form monoclonal valleys. The deformed and eroded rocks were buried beneath younger deposits and then subsequently exhumed partly. The geologic date of the folding must be later than the youngest deformed stratum and older than the lowermost horizontal deposit.

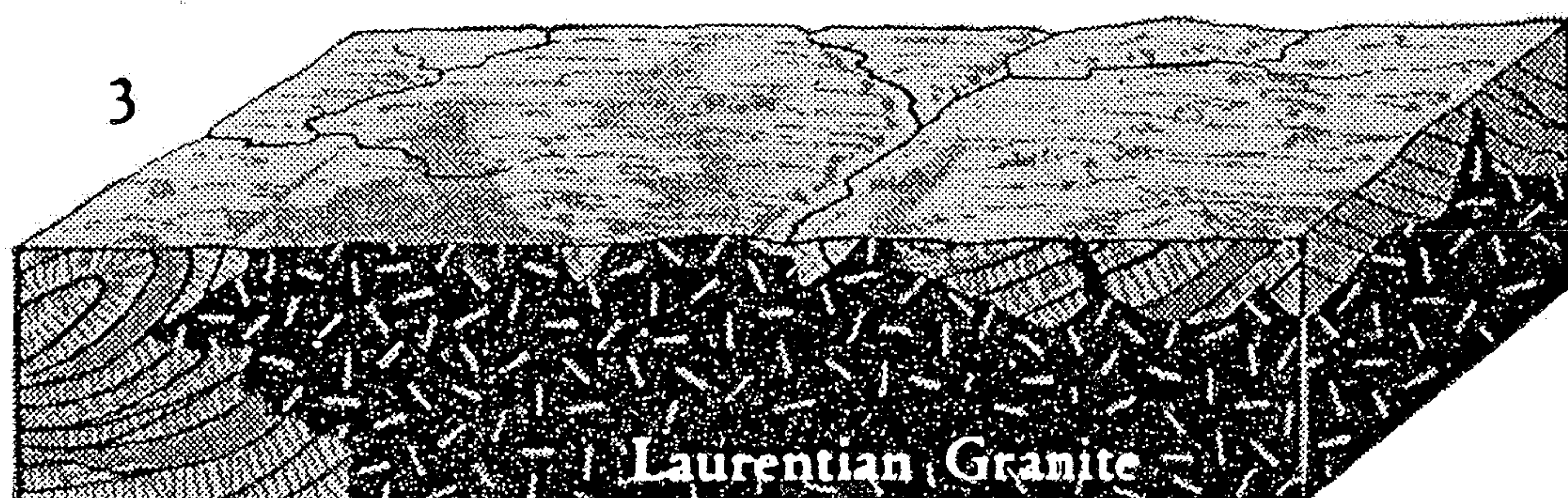
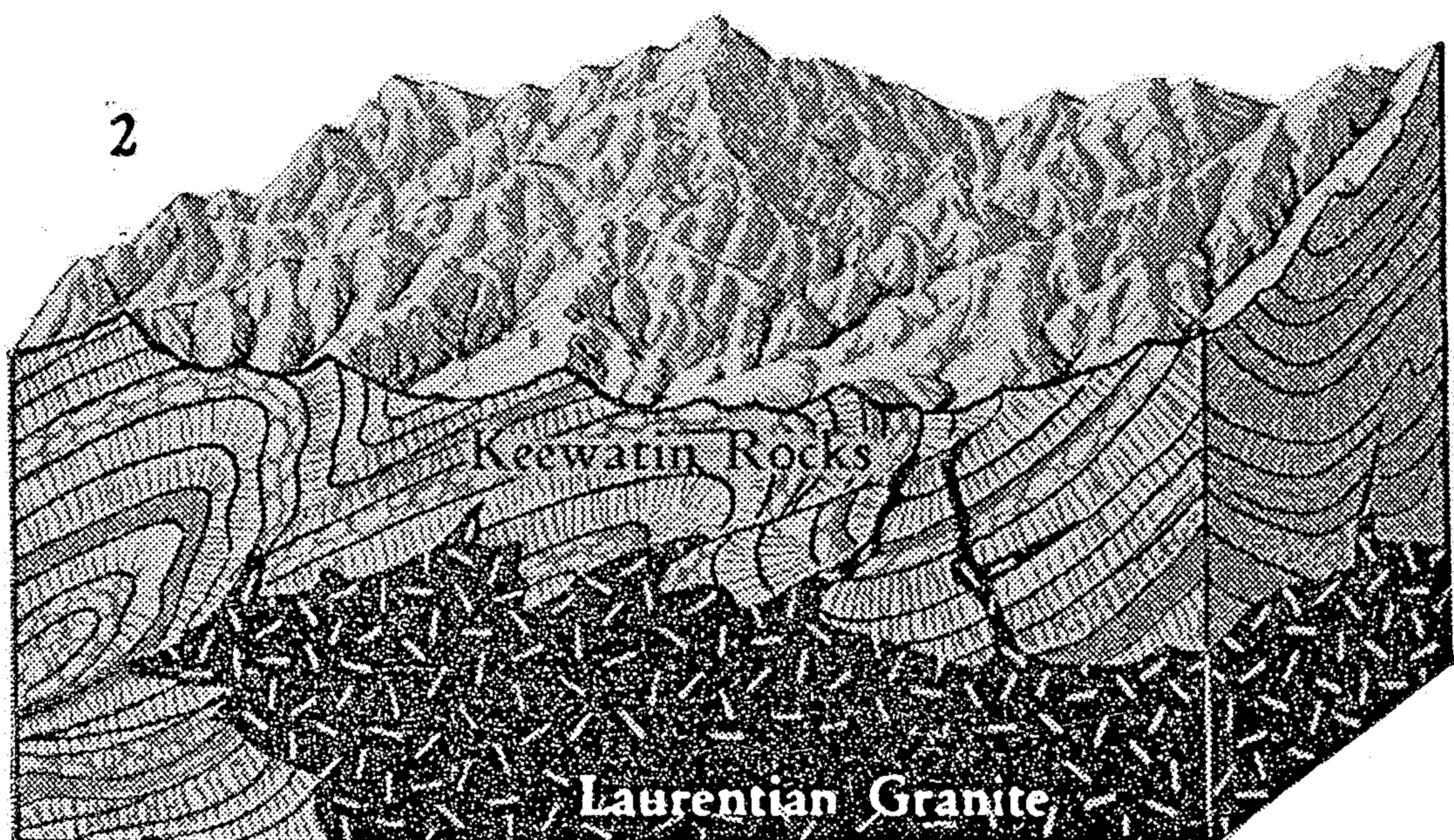
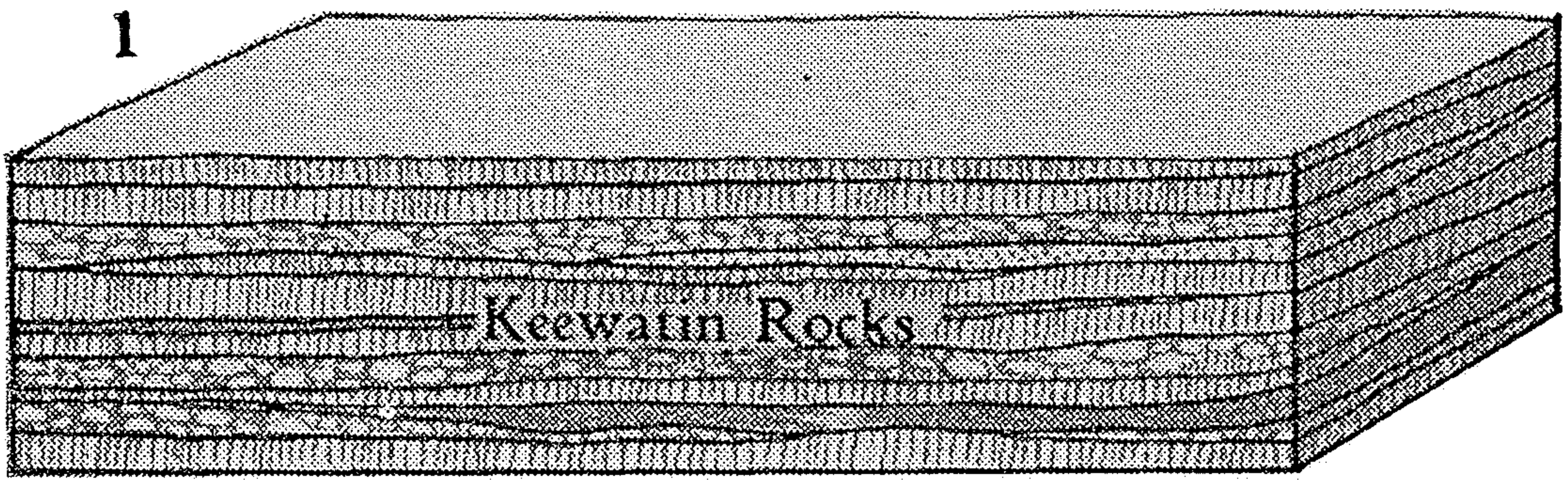


Fig. 4.16 Features of early Archean history in part of the Canadian Shield. The block diagrams illustrate successive steps in making the most ancient known rocks of the shield and structures associated with them.—1. Accumulation of Keewatin volcanic and sedimentary layers, originally approximately horizontal in position.—2. Mountain building, indicated by folding and metamorphism of the Keewatin rocks. This was accompanied or followed by intrusion of great bathyliths of granite (Laurentian). Erosion of the mountains must have begun as soon as they were uplifted.—3. Peneplanation of the mountain region.

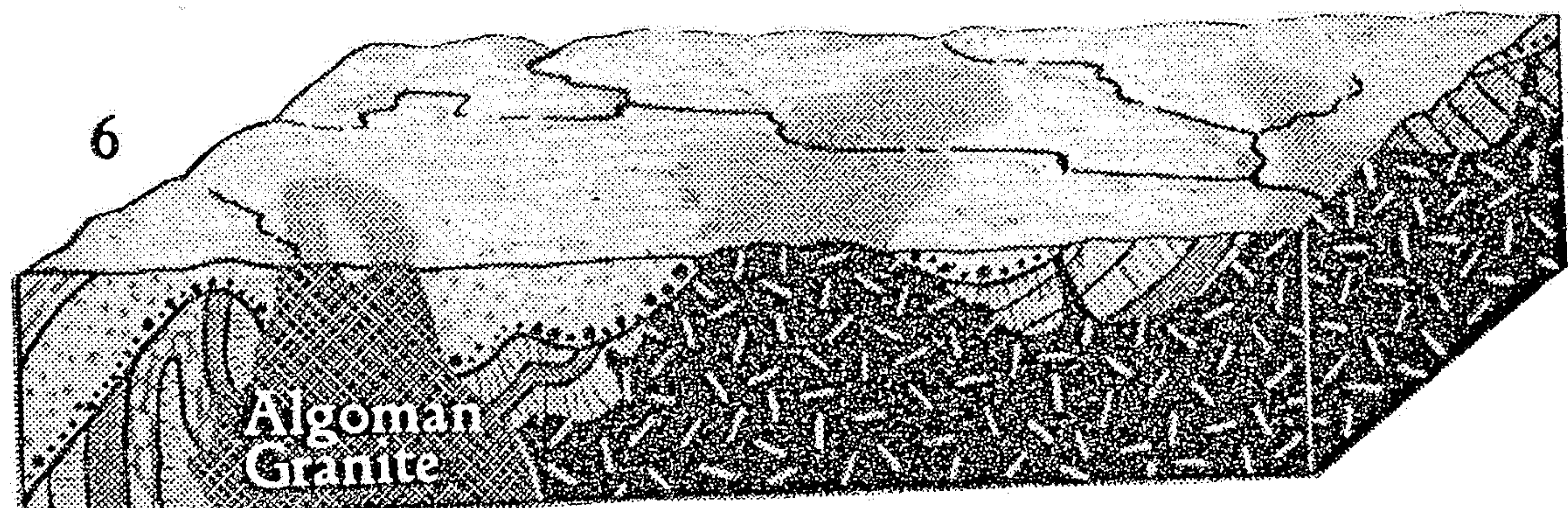
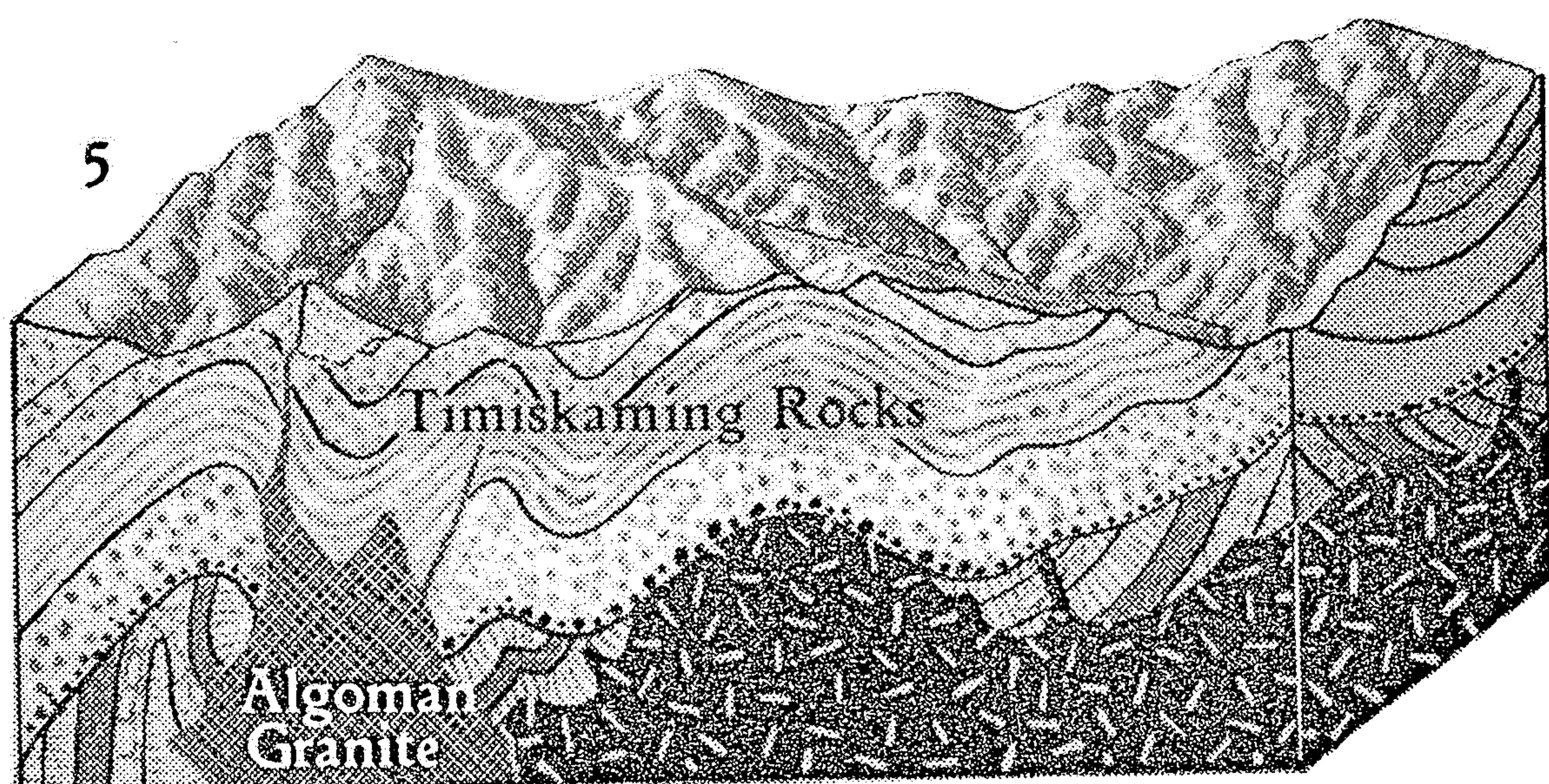
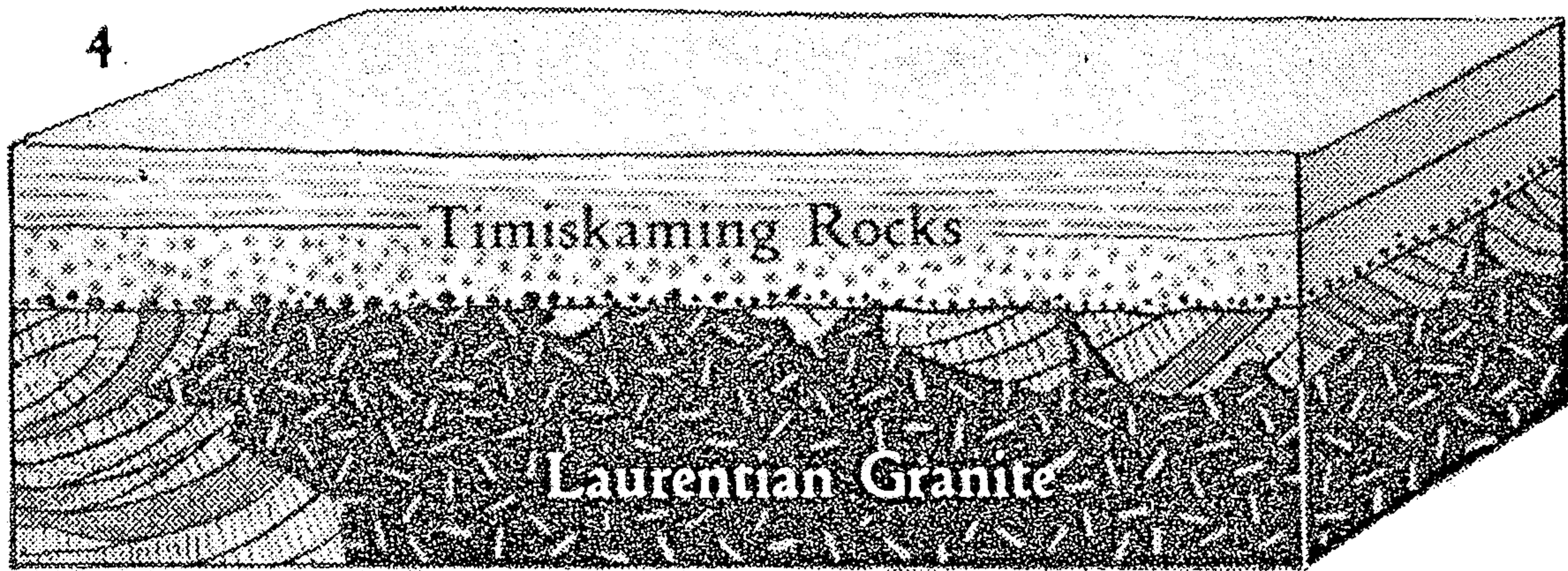


Fig. 4.21 Later Archean history of part of the Canadian Shield. The block diagrams, in continuation of Fig. 4.16, illustrate the following.—4. Deposition of the Timiskaming Sequence unconformably on older Archean sedimentary and volcanic rocks (Keweenawan) and intrusive granite (Laurentian).—5. Post-Timiskaming mountain building accompanied or followed by intrusion of granitic batholiths (Algoman).—6. Peneplanation of Archean rocks as result of prolonged erosion (Eparchean Interval).

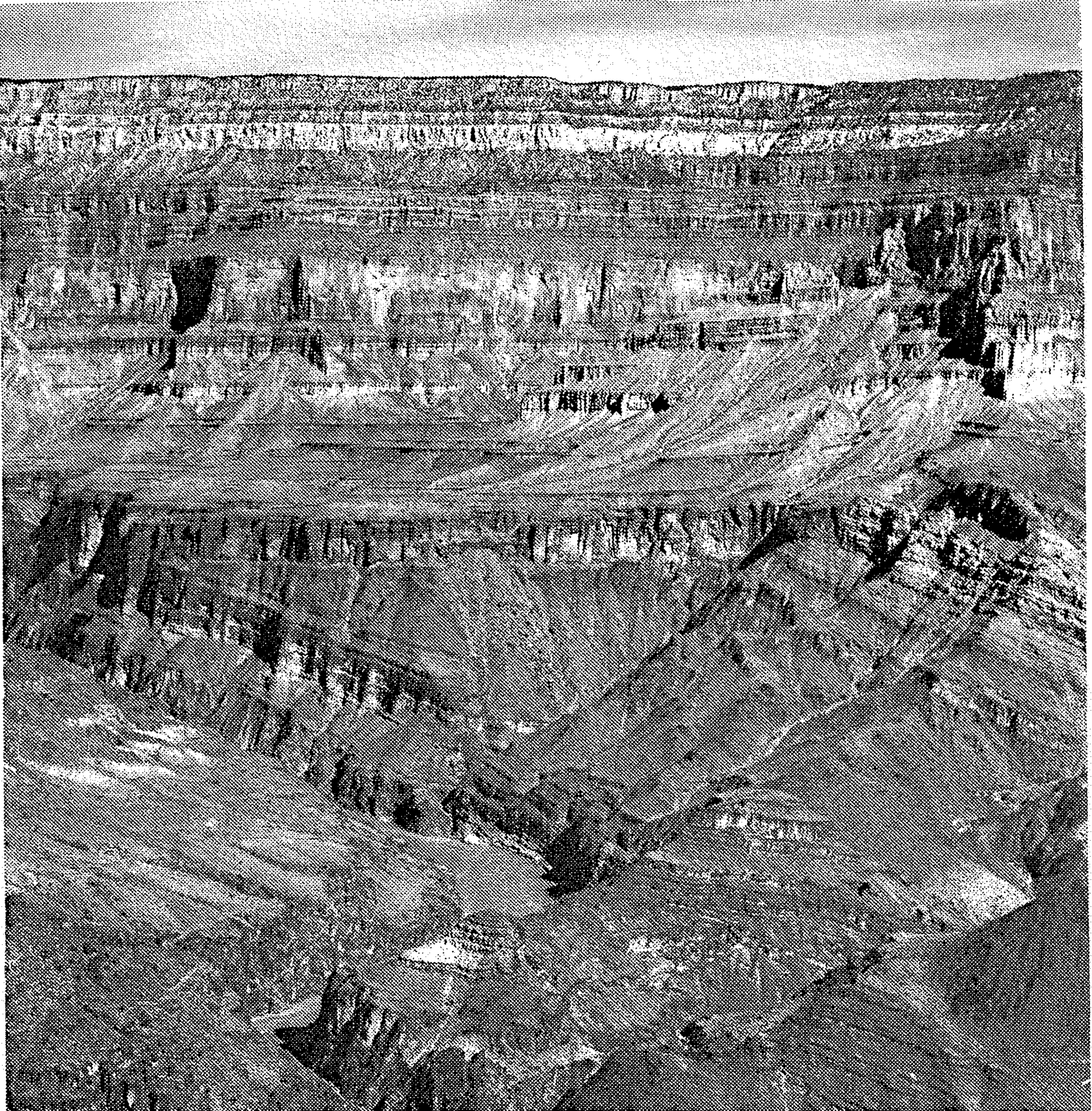
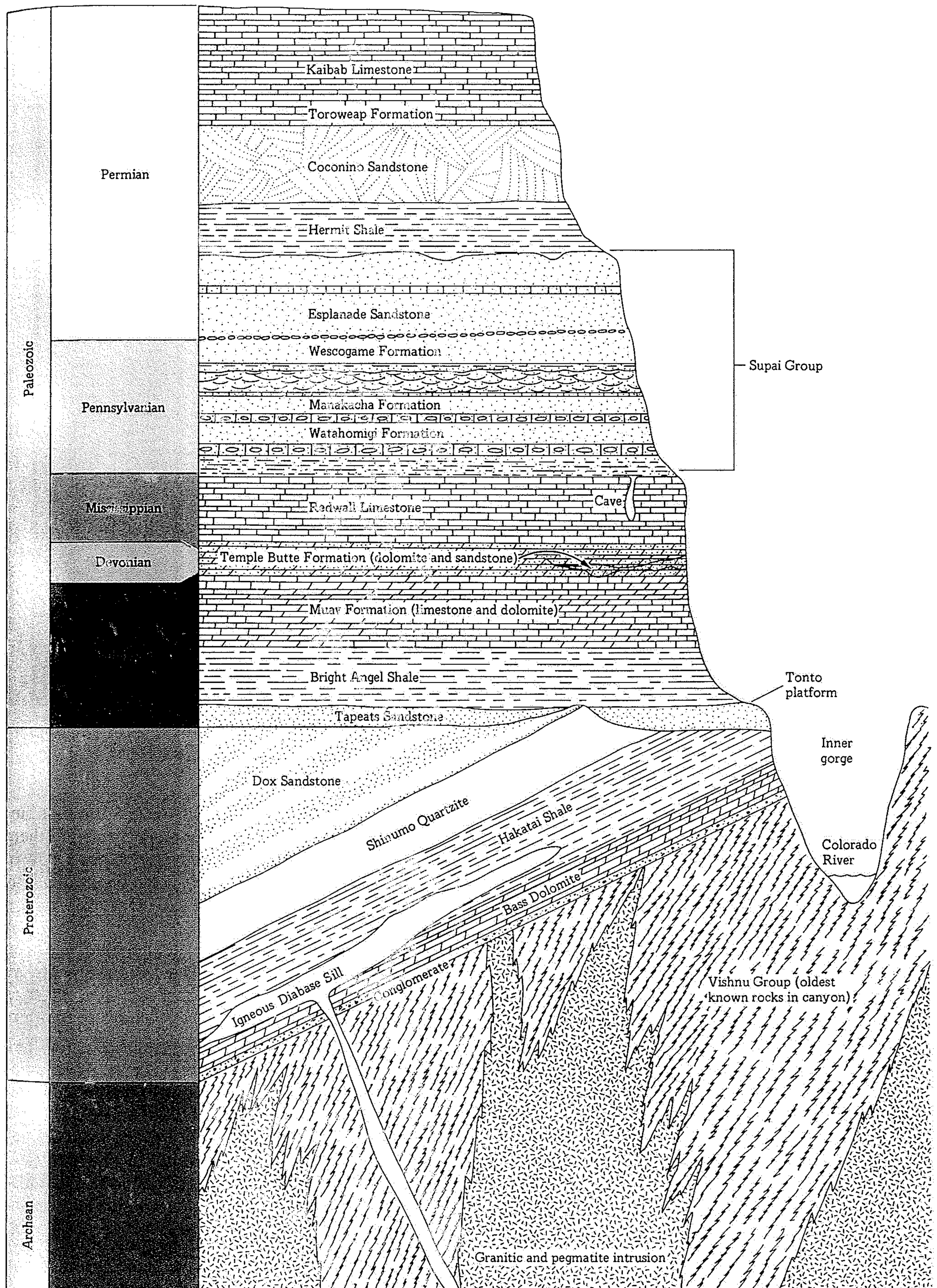


Figure 2-6

The Grand Canyon of the Colorado; a view south from the bordering Kaibab Plateau. Though the topography is rugged, the horizontal stratification of the upper rocks in the canyon is clear. [From *Geology Illustrated* by J. S. Shelton. W. H. Freeman and Company. Copyright © 1966.]



8.4 Diagrammatic representation of one wall of the Grand Canyon along the Kaibab Trail, showing unconformities. [After W. J. Breed and E. Roat (eds.), *Geology of the Grand Canyon*, Museum of Northern Arizona—Grand Canyon Natural History Association, Flagstaff and Grand Canyon, Ariz., 1976.]

Northwest

Southeast

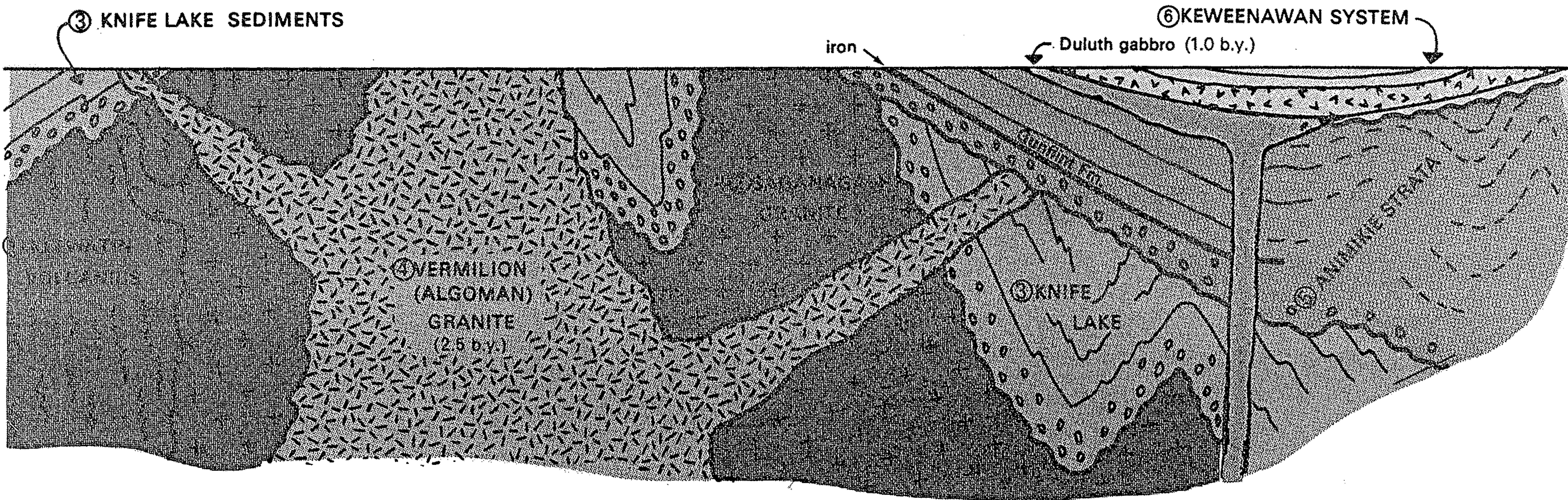
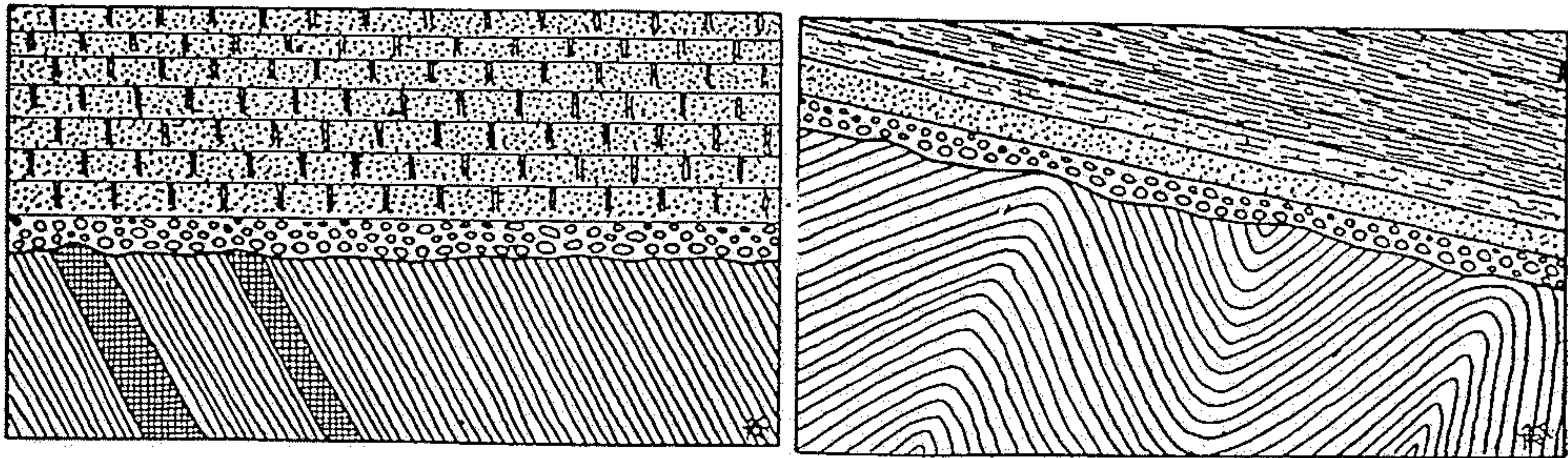
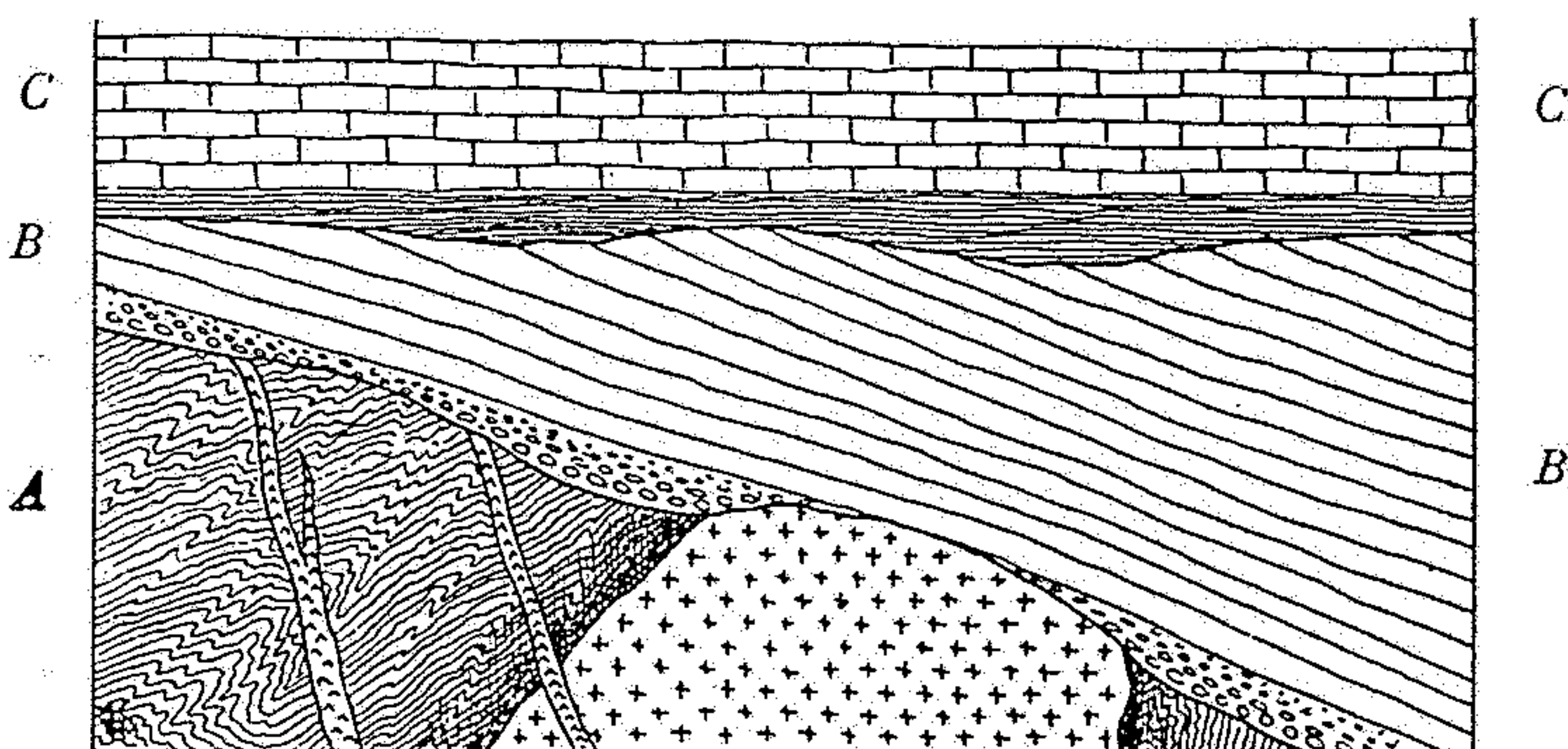


FIGURE 8.5

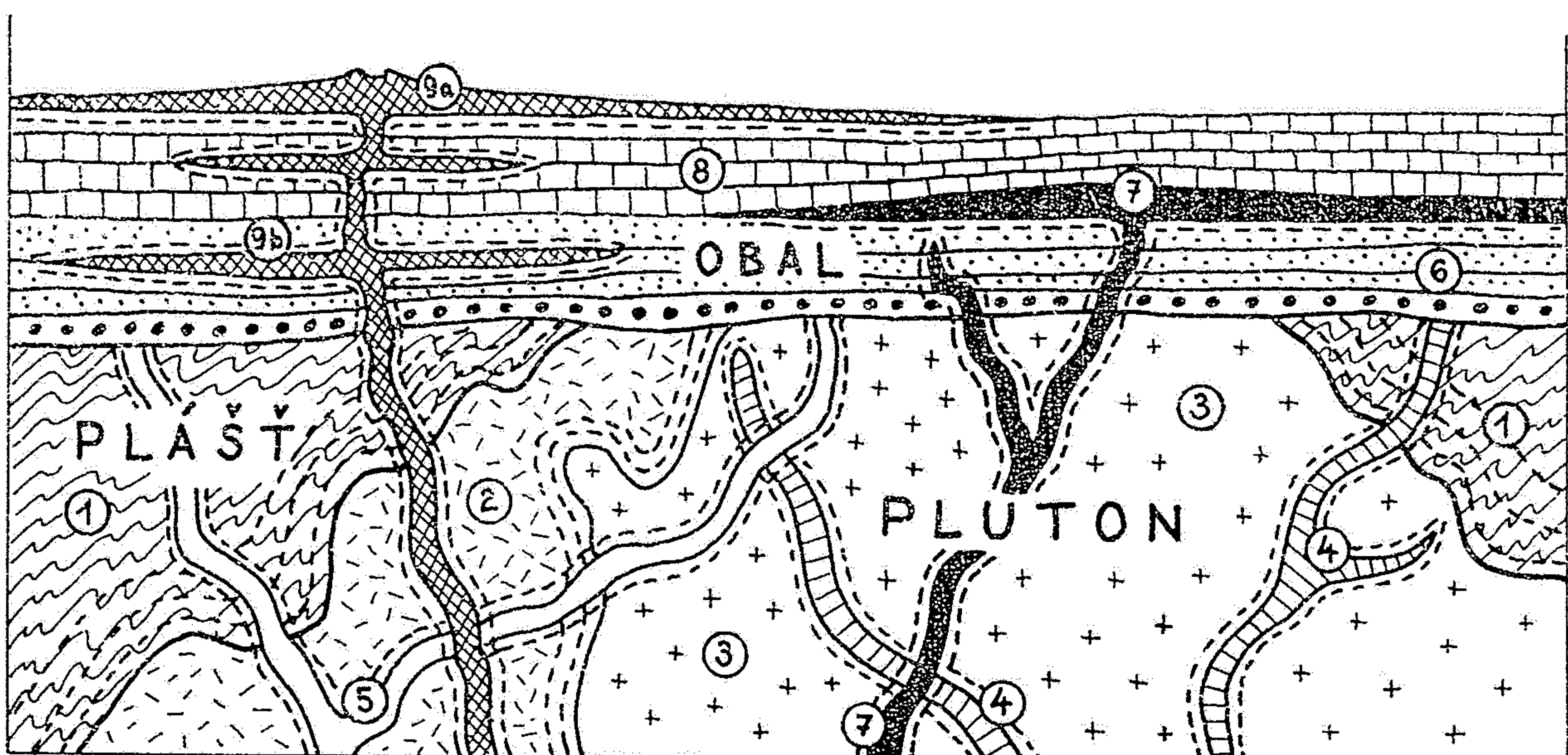
Diagrammatic cross section, north shore of Lake Superior to northern Michigan. Stratigraphic relationships studied by A. C. Lawson and early United States geologists are shown, as well as isotopic dates. Numbers indicate relative ages (1 = oldest). Prepaleozoic formations have been richly endowed with memorable—if unpronounceable—Indian names.



Obr. 44. Příklady diskordantního uložení vrstev.

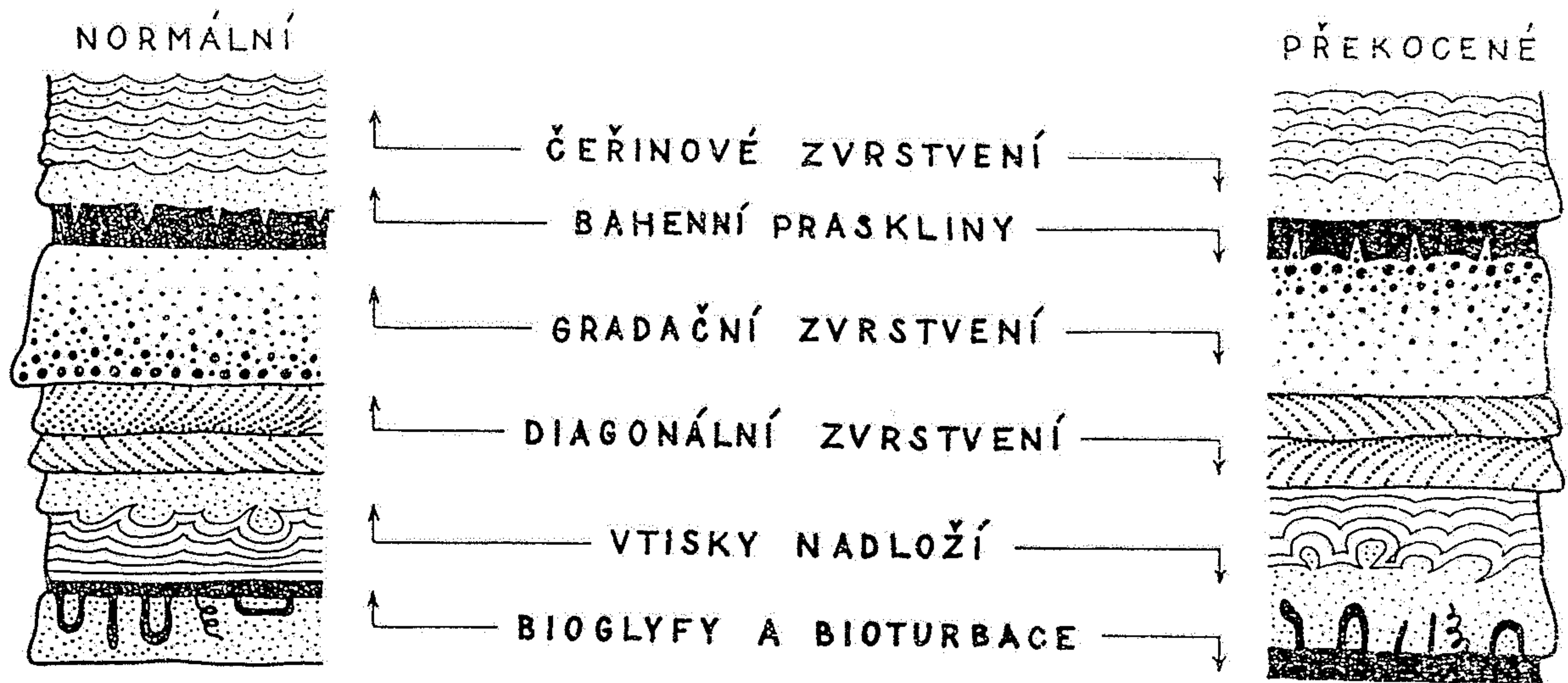
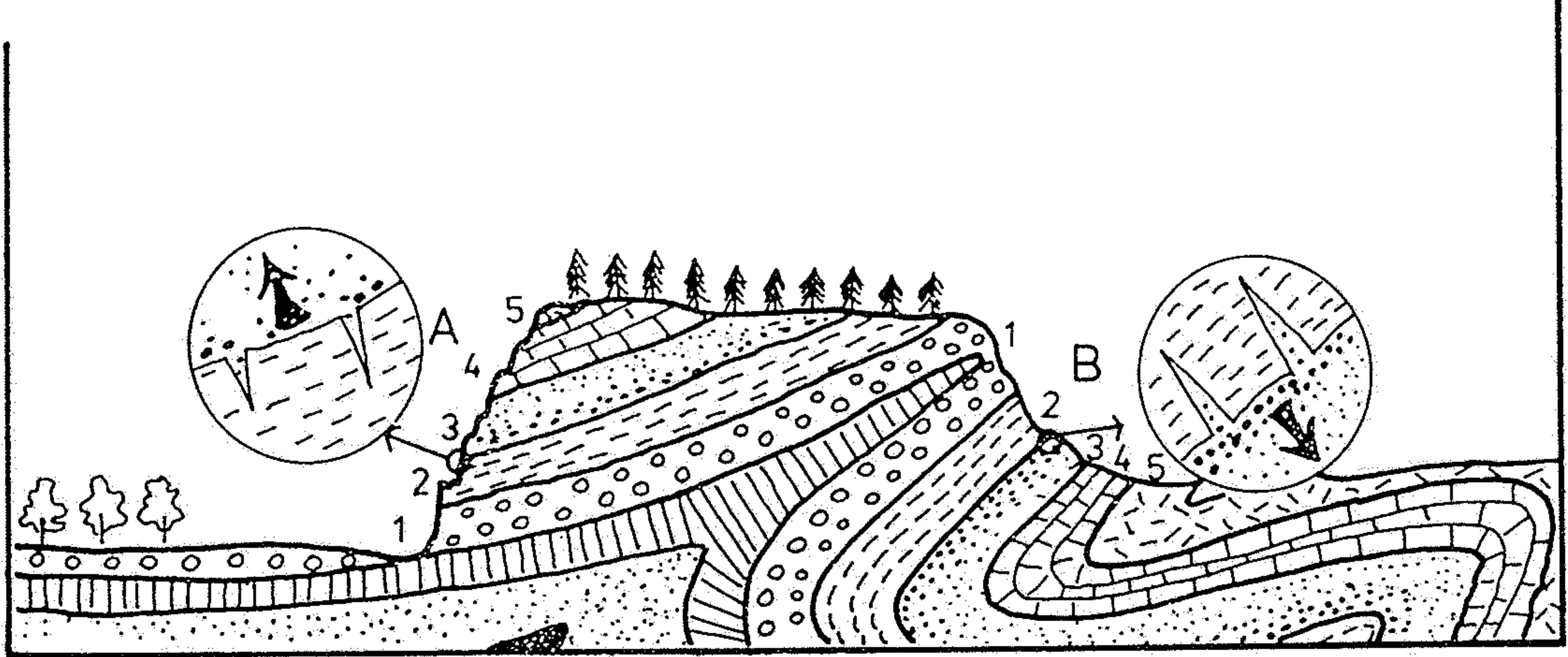


Obr. 45. Dvě diskordance. Vrstvy B začínající basálním slepencem spočívají diskordantně na denudovaném povrchu zvrásněných vrstev A, proražených vyvřelým hlubinným tělesem a vyvřelými žilami. Po naklonění a částečné denudaci vrstev B se na nich uložily nesouhlasně vodorovné vrstvy C.



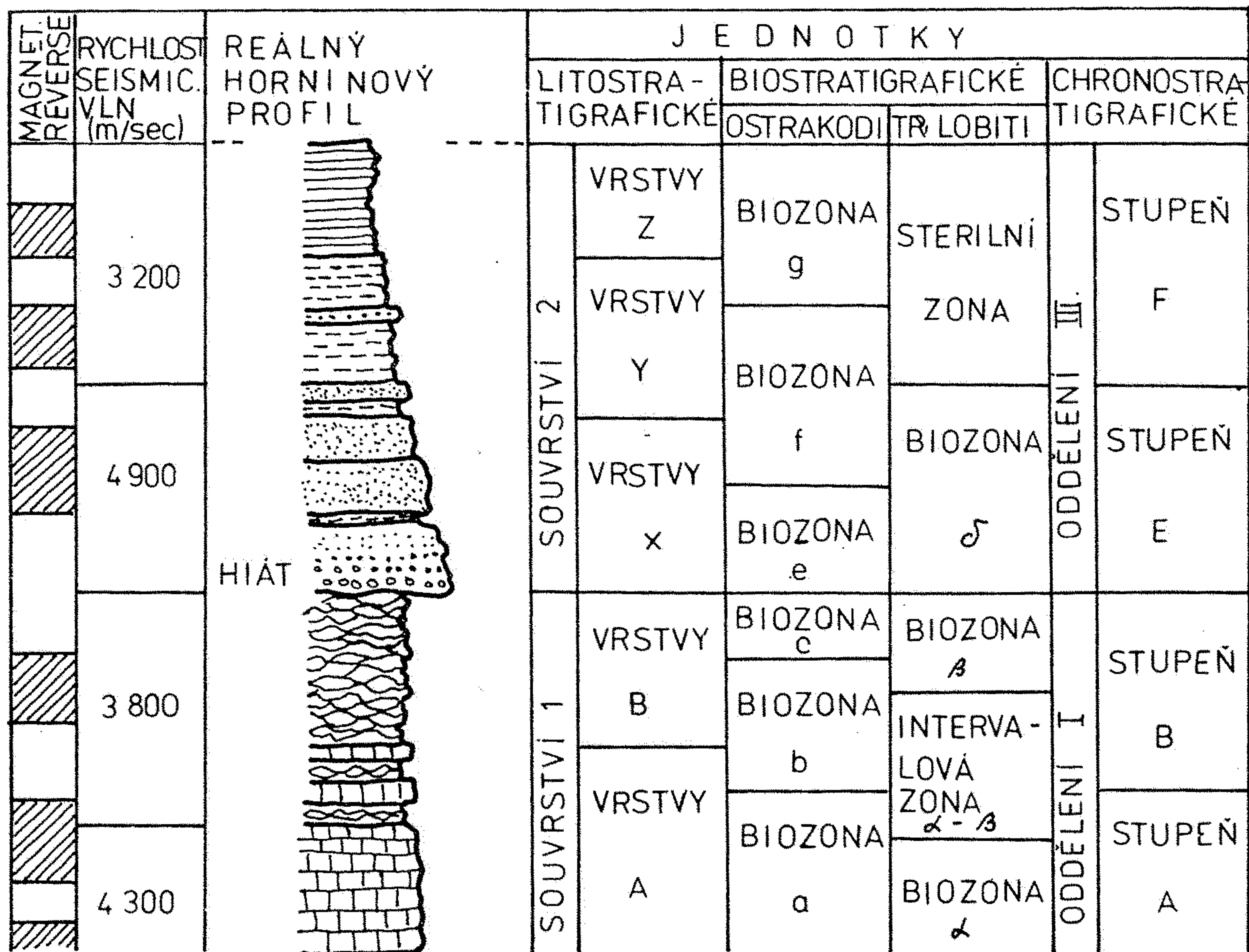
Obr. 16

Časoprostorové vztahy plutonu (2 - 3) s jeho žilným doprovodem (4 - 5), pláštěm (1), obalem (6 - 8) a nejmladšími vulkanity (9). Cárování podél kontur jednotlivých vyvřelých těles vyznačuje kontaktní metamorfozu. Starší vulkanit (7) je produktem podmořského výlevu na původním dně (metamorfuje pouze své pôdopodloží!) a je překryt mladšími, kontaktní metamorfozou nepoštiženými sedimenty (8). Mladší vulkanit (9) tvorí kromě povrchového výlevu (9a) i ložní žíly (9b) v sedimentech obalu (kontaktní metamorfozou je tu postiženo jak podloží, tak i nadloží!). Čísla udávají časovou posloupnost litostratigrafických jednotek



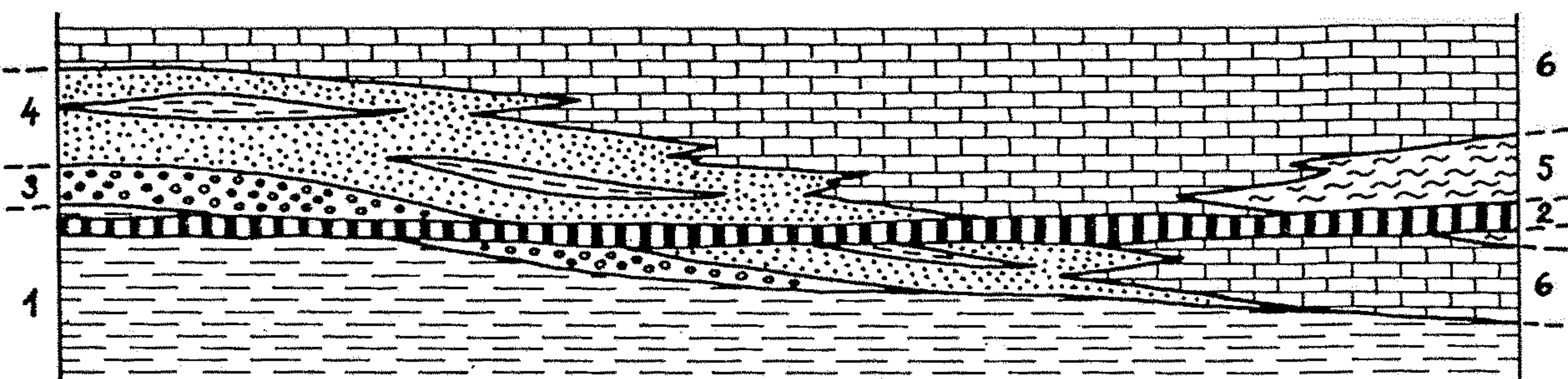
Obr. 13

Využití sedimentárních textur pro určení pozice vrstev



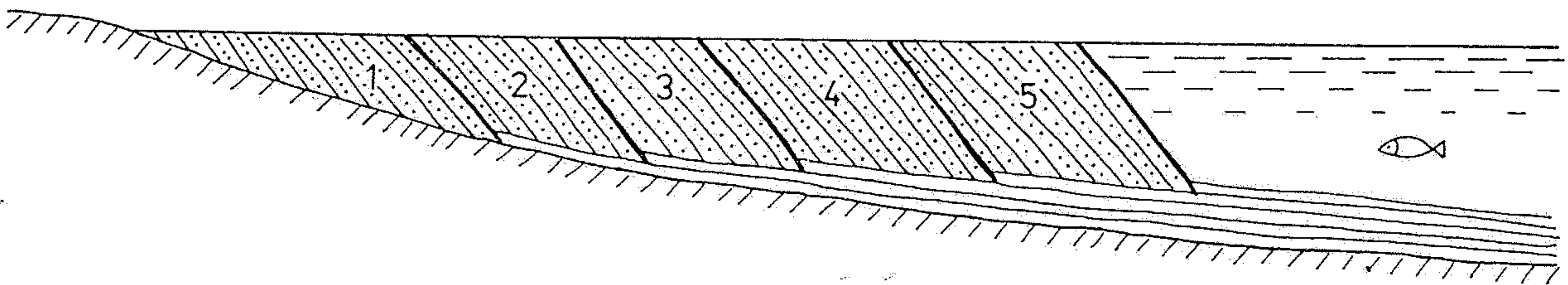
Obr. 1

Ukázka různých možností stratigrafického členění jedné horninové sekvence na podkladě rozličných znaků (litologických, paleontologických, fyzikálních apod.). Nápadná je shoda hranic různých kategorií jednotek v místě hiátu jako výraz změny jak v litologickém, tak paleontologickém složení.



Obr. 11

Přebíhavý litohorizont - protíná několik lithostratigrafických jednotek. 1 - jílovce; 2 - tufy (litohorizont); 3 - slepence; 4 - pískovce s vložkami prachovců; 5 - slínovce a vápence; 6 - prachovce a jílovce.



Obr. 9

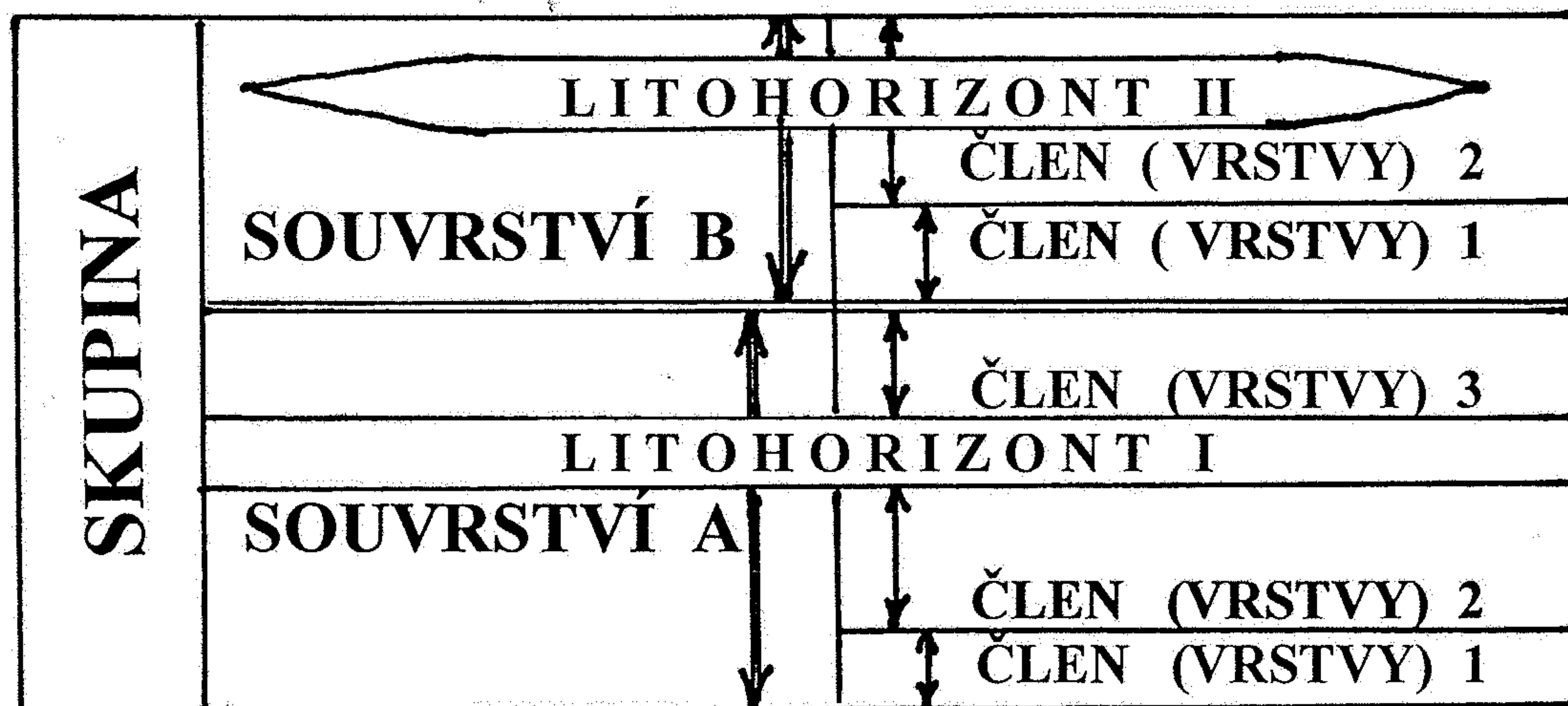
Heterochronní lithostratigrafická jednotka sedimentů říční delty. Čísla 1 - 5 vyjadřují jednotlivá stadia jejího vývoje a dokumentují, že pískovce v levé části delty (1) jsou starší než v pravé (5)

SKUPINA (angl. GROUP) - soubor dvou nebo více souvrství

SOUVRSTVÍ (angl. FORMATION) – základní lithostratigrafická jednotka dělitelná na členy

ČLEN = **VRSTVY** (angl. MEMBER) – pojmenovaná jednotka uvnitř souvrství

LITOHORIZONT = **OBZOR** (angl. BED) – pojmenovaná významná poloha



DEVONIAN

LOWER

MIDDLE

LOCHKOV
FORMATION

PRAG FORMATION

ZLÍCHOVIAN

DALEJIAN EIFELIAN

GIVETIAN

KOTÝZ
LIMESTONE

LIMESTONE
KONĚPRUSY

SRBSKO FM.

DALEJ-
TŘEBOTOV
FORMATION

SUCHOMASTY
LIMESTONE

CHOTEC
FORMATION

ACANTHOPOGE
LIMESTONE

RADOTÍN
LIMESTONE

LIMESTONE
SLIVENEC L.

ROBLÍN MEMBER

KAČÁK MEMBER

CHÝNICE
LIMESTONE

TŘEBOT LIMESTONE

DALEJE
SHALE

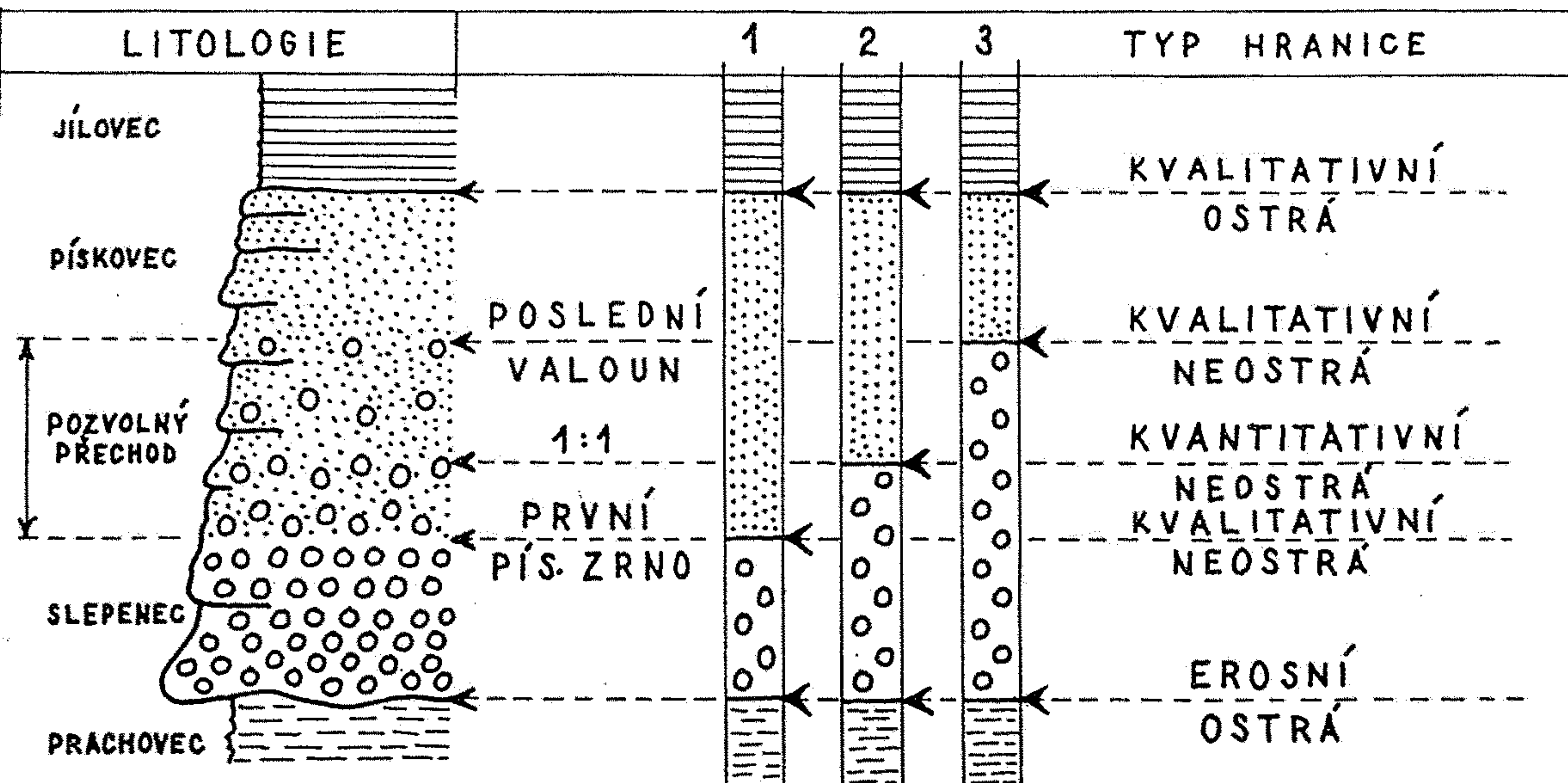
ZLÍCHOV LIMESTONE

CHAPEL CORAL HORIZON

ŘEPORYJE AND LODĚ-
NICE LIMESTONES

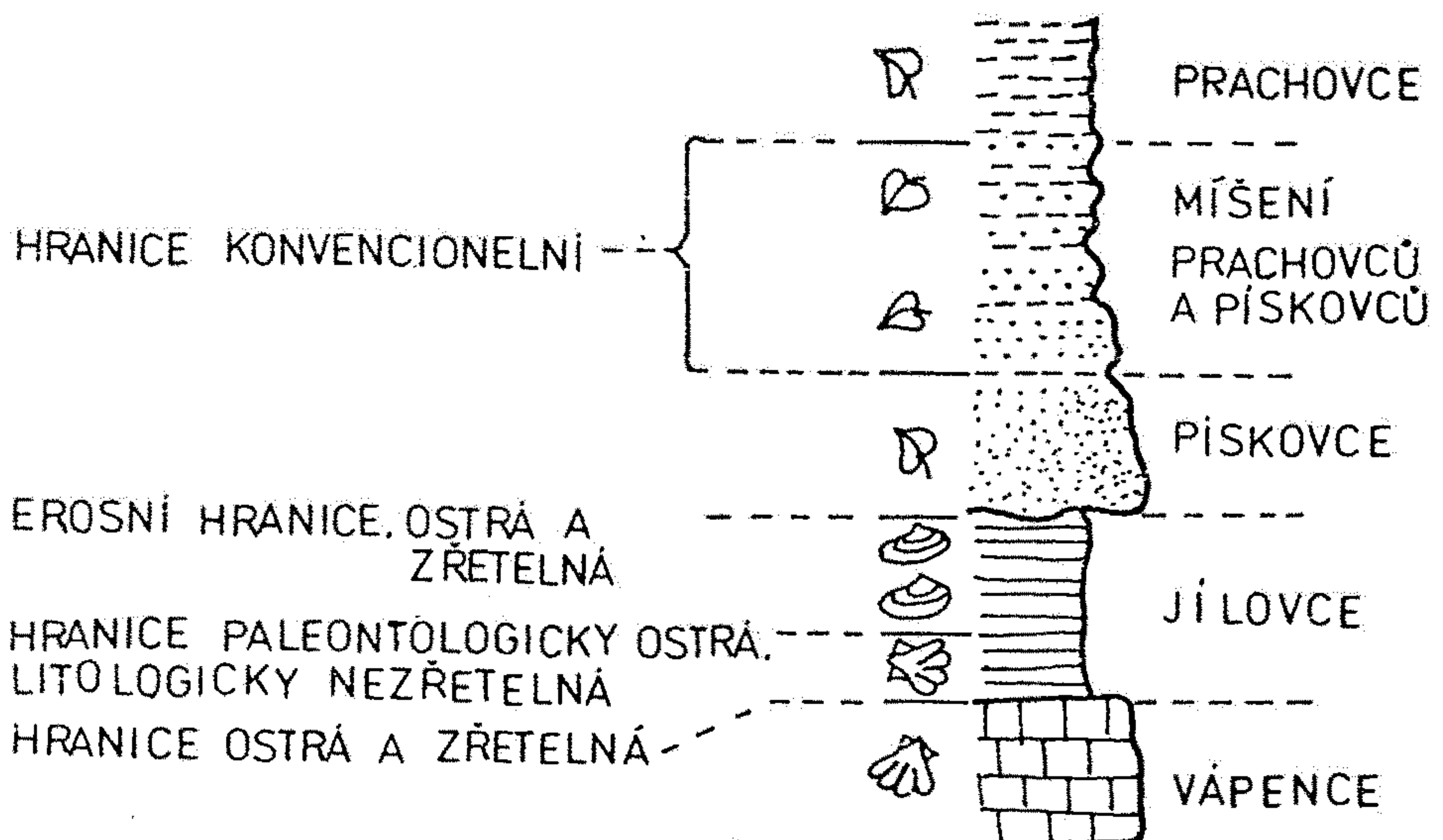
DVORCE-
PROKOP
LIMESTONE

KOSOŘ
LIMESTONE



Obr. 10

Kvalitativní a kvantitativní hranice
litostatigrafických jednotek



Obr. 2

Základní typy hranic
stratigrafických jednotek

FIGURE 7-2

Using fossils to date beds. The long-ranging species on the left is of no value in dating the limestone beds between the horizontal lines, but the short ranges of the other species make them good time markers. The actual specimens were collected in England. (Data from S. W. Muller, Stanford University.)

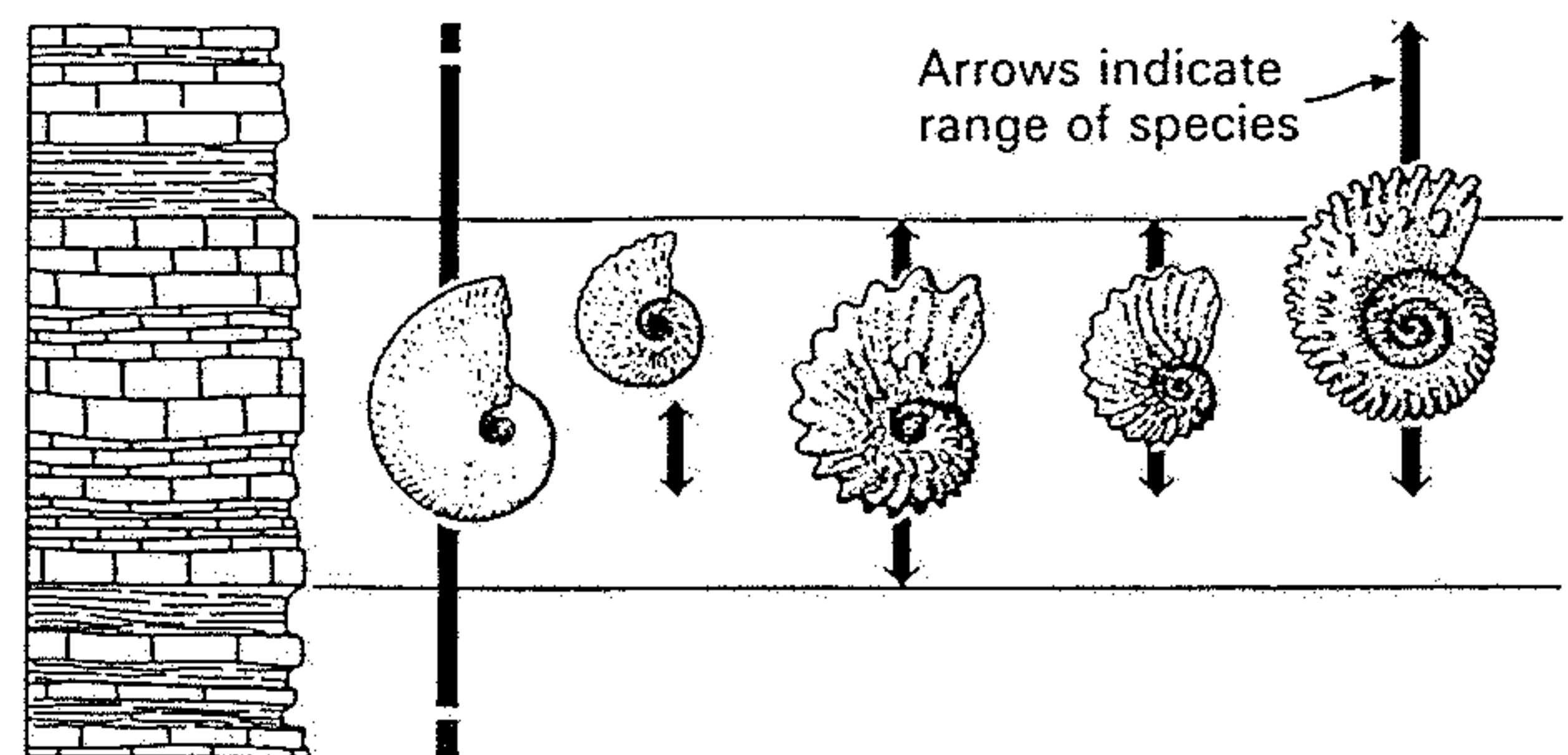
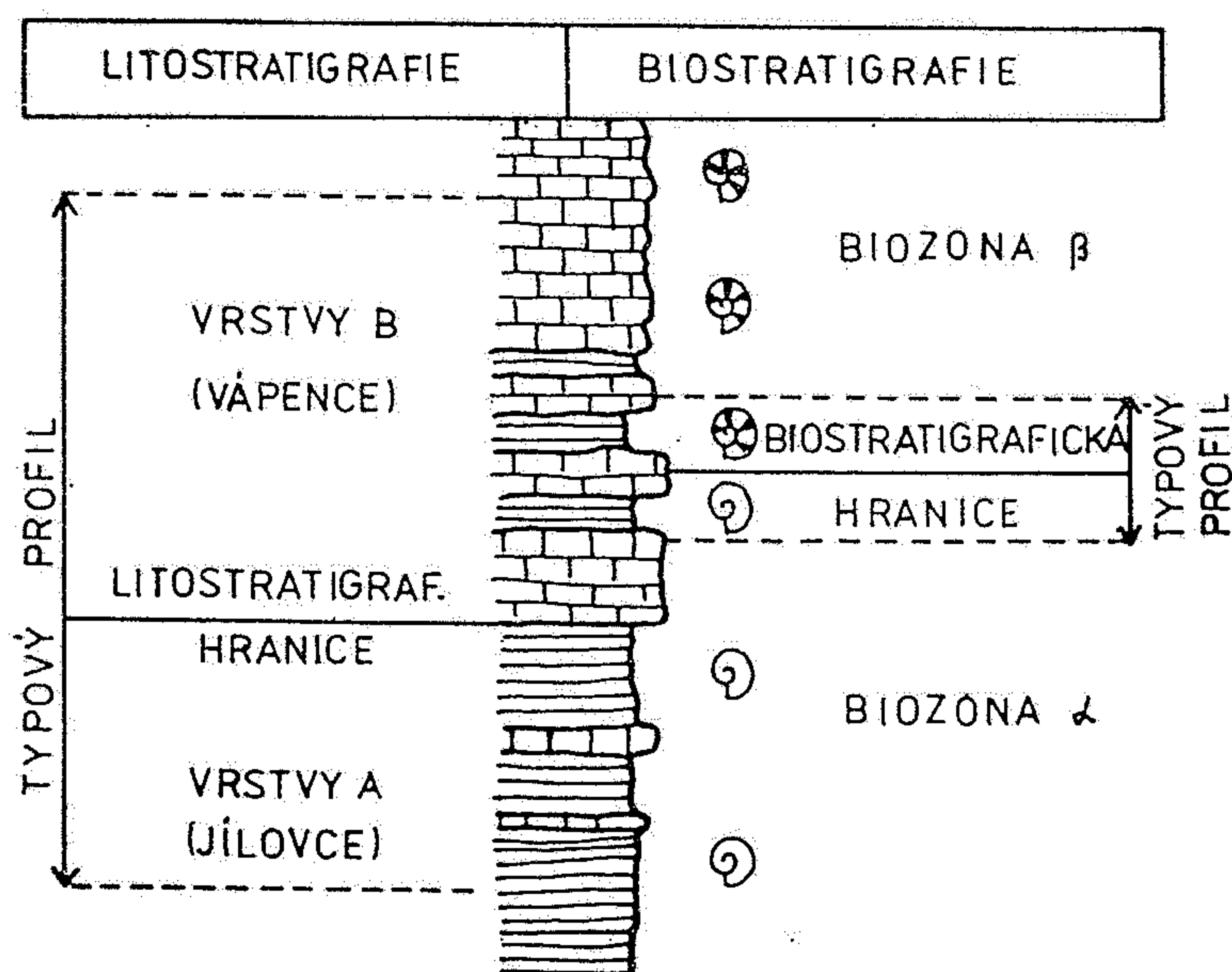
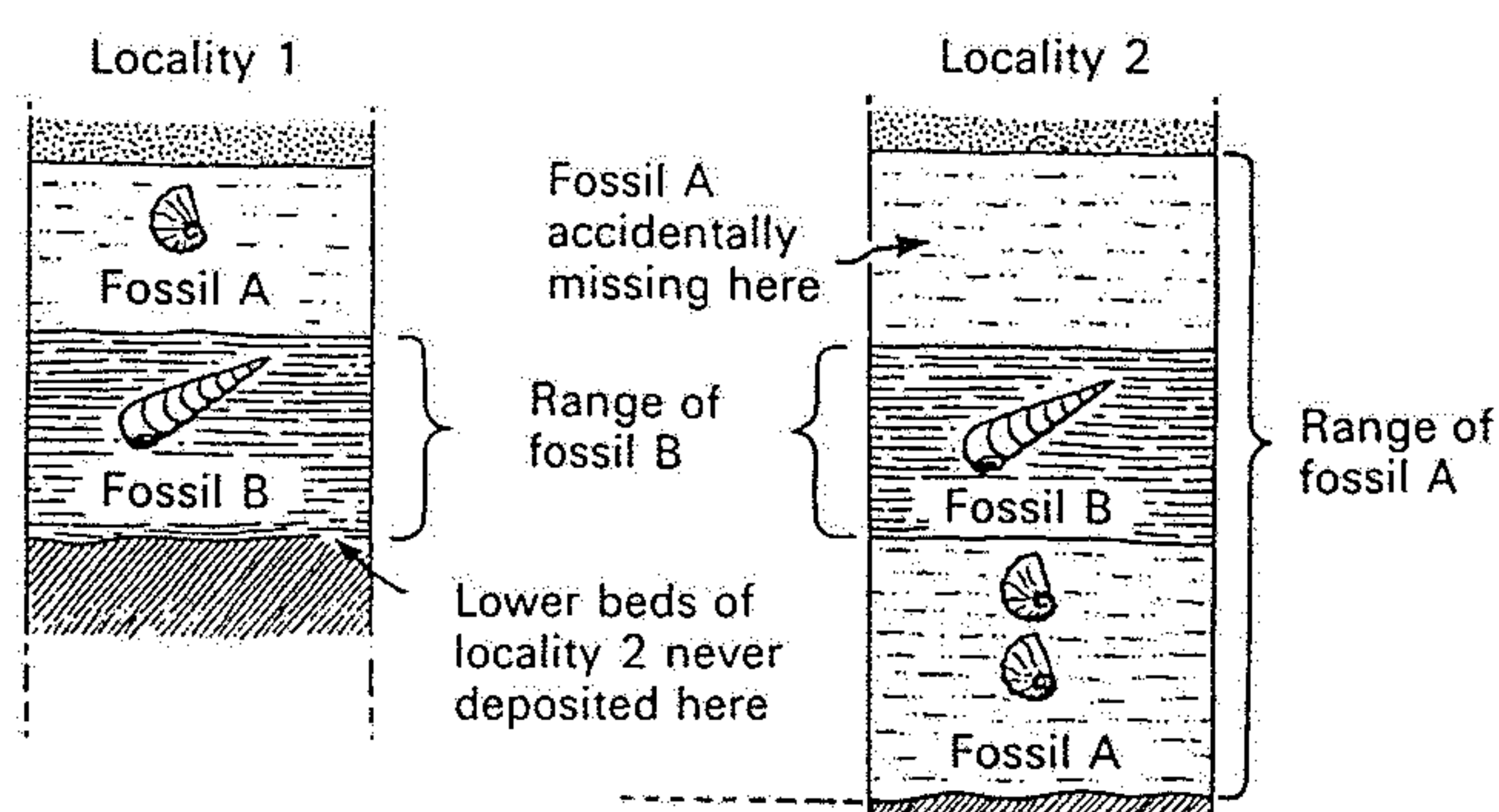


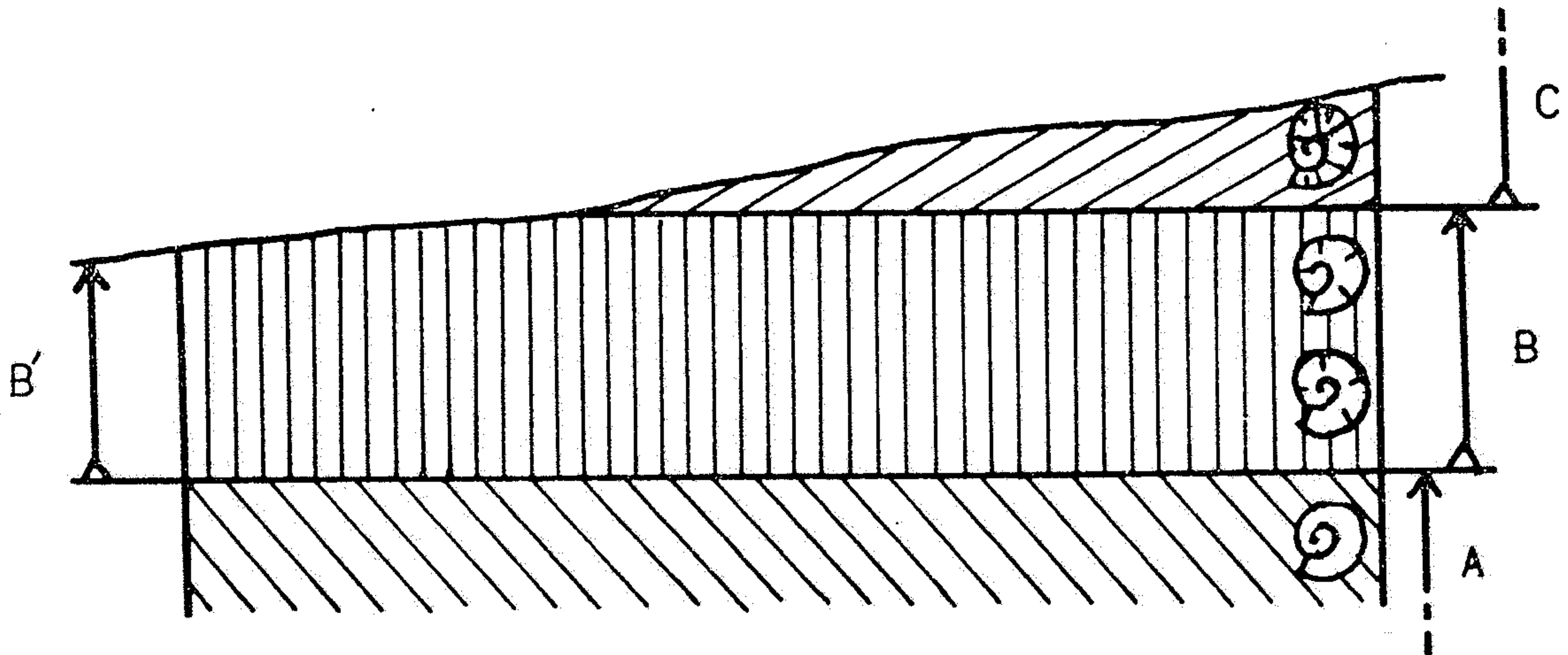
FIGURE 7-3

Reversal of fossil sequence between two localities owing to differences in depositional sequence and accidents of preservation.



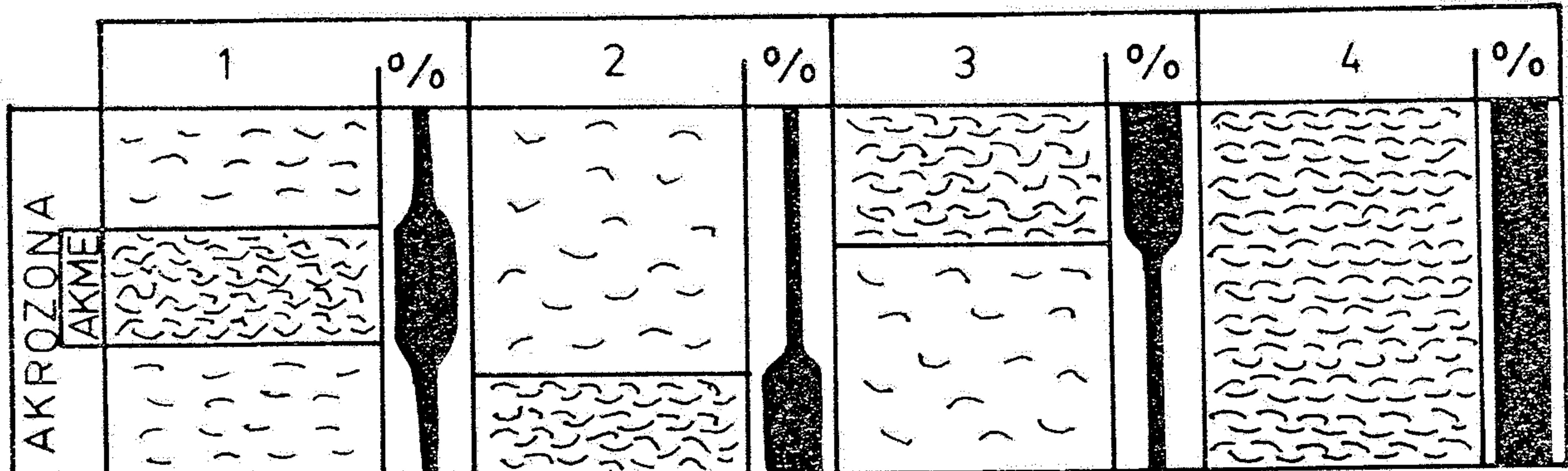
Obr. 3

Stratotyp hranice. Výška typového profilu u lithostratigrafické hranice je v tomto případě větší, protože musí překlenout střídání obou typů hornin (vápenců a jílovčů) až do míst, kde typizace vrstev A a B je jednoznačná. Rozsah typového profilu biostratigrafické hranice je vymezen posledním výskytem indexní zkameněliny biozony α a prvním výskytem indexní zkameněliny biozony β bez ohledu na litologii.



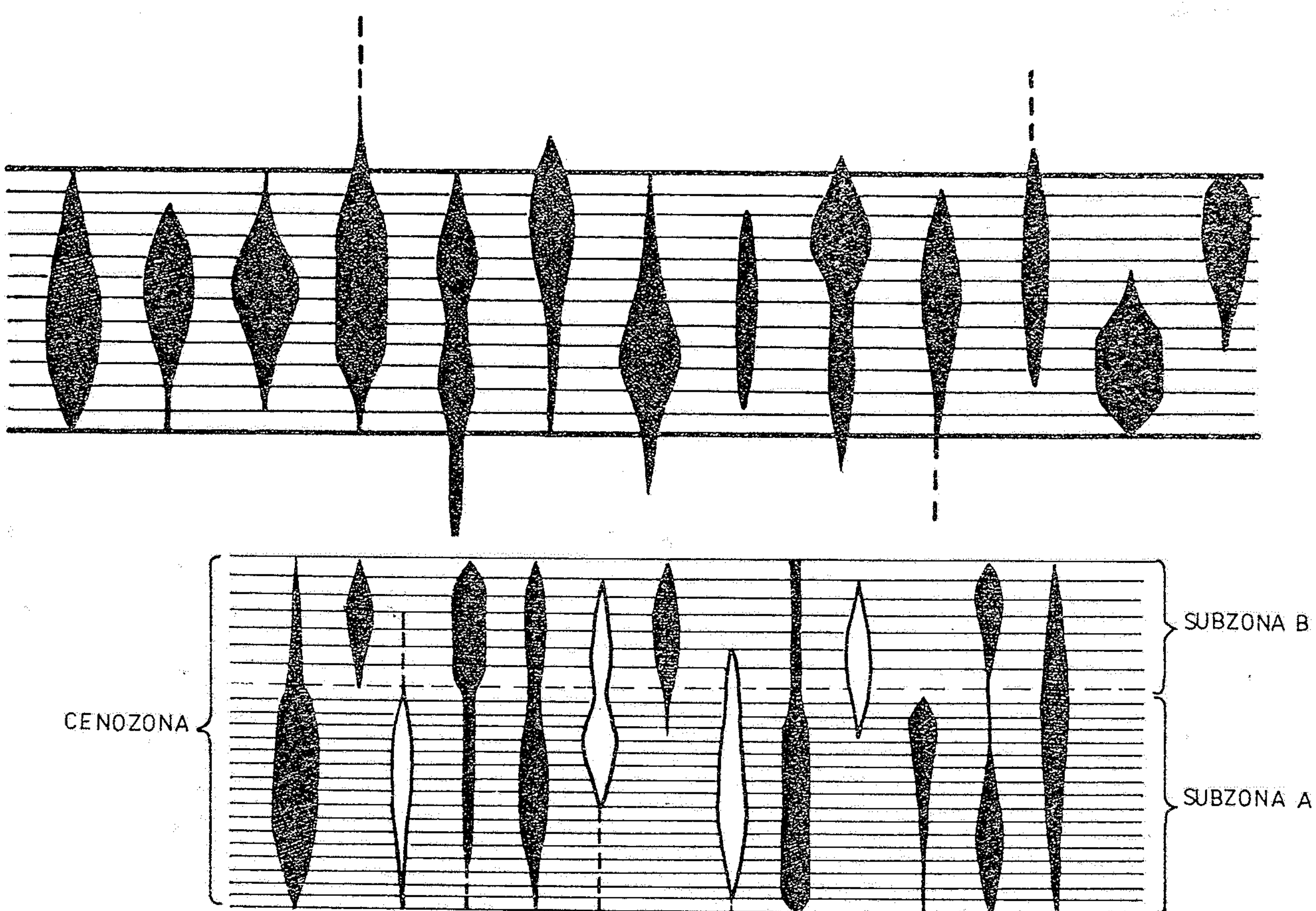
Obr. 18

Akrozóna taxonu. Vpravo (B) má svůj skutečný výškový rozsah doložený vývojovými předchůdci i potomky (taxony A a C). Vlevo (B') je rozsah akrozony druhotně redukován

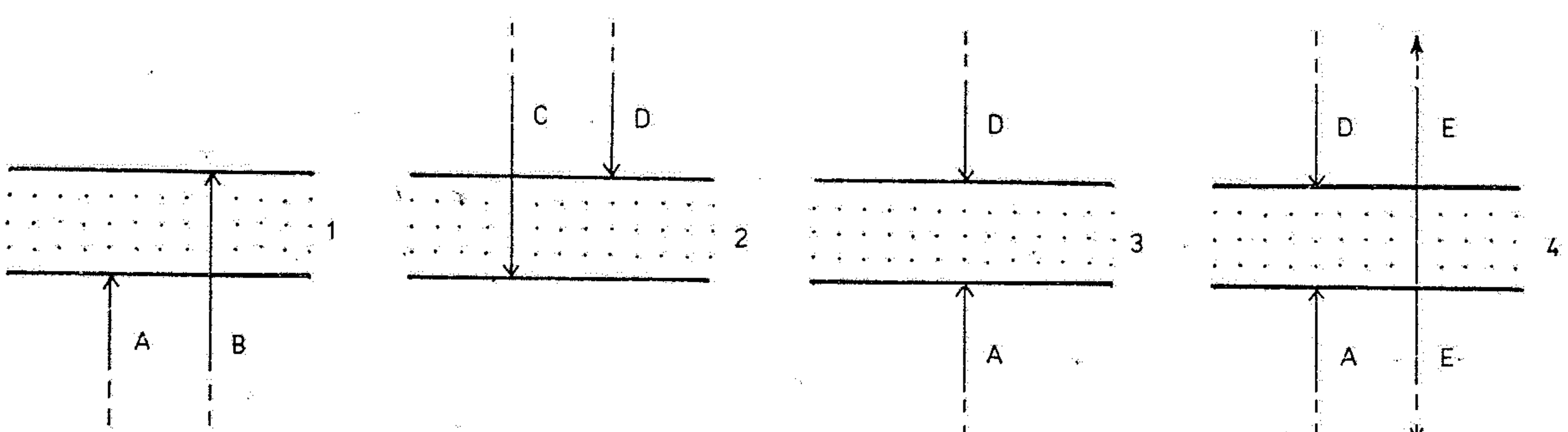


Obr. 24

Akmezóna. 1 - 3: různé pozice akmezóny v rámci akrozóny téhož taxonu. 4: akmezóna je totožná s akrozencem

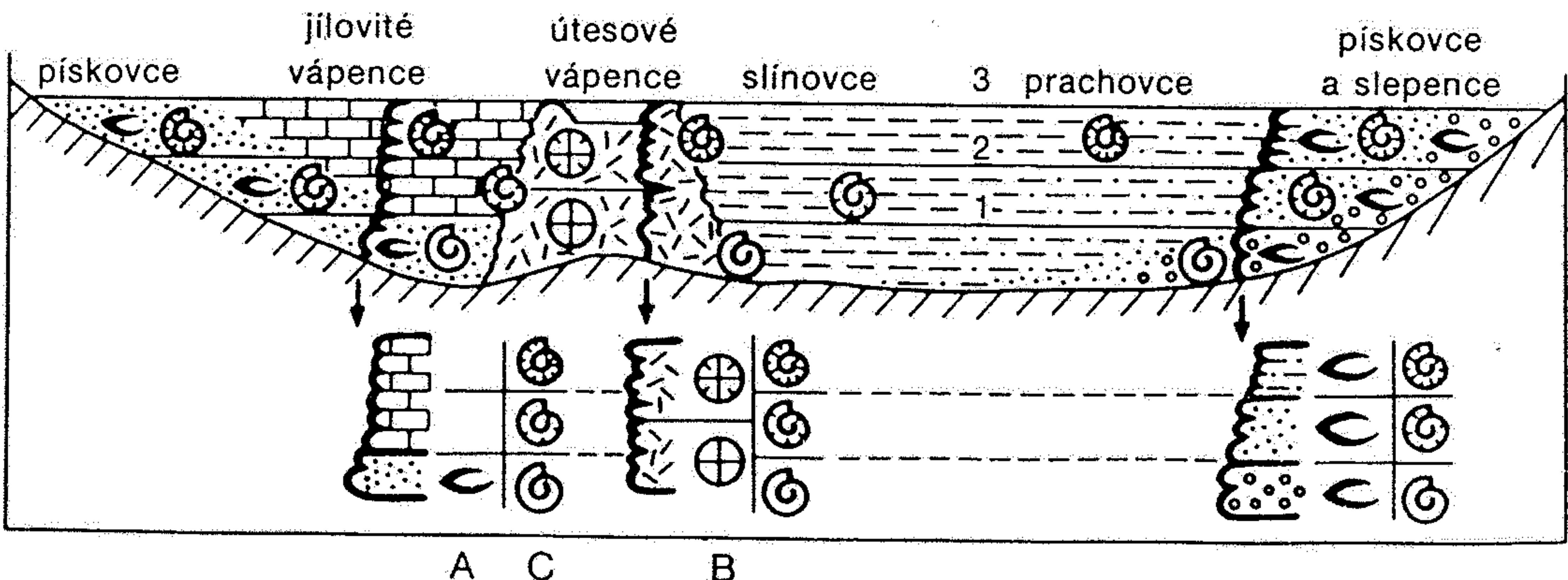
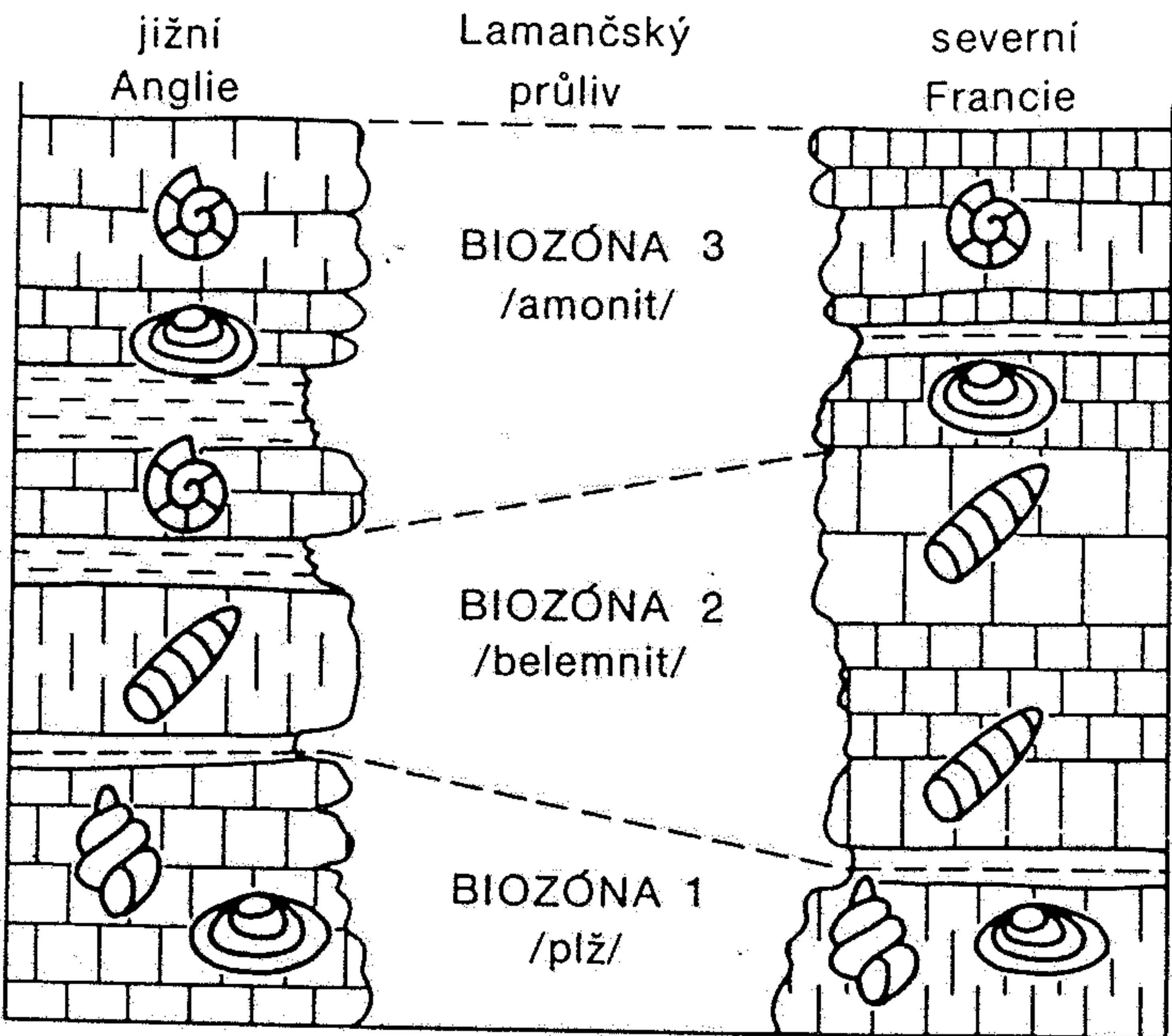


Cenozóna se dvěma subzónami. Čočkovitě protažené symboly vyjadřují svou výškou vertikální rozsah a svou šírkou hojnost zastoupení taxonů. (Cerné - hlavní opěrné taxony, prázdné - méně významné taxony, které mohou chybět.)

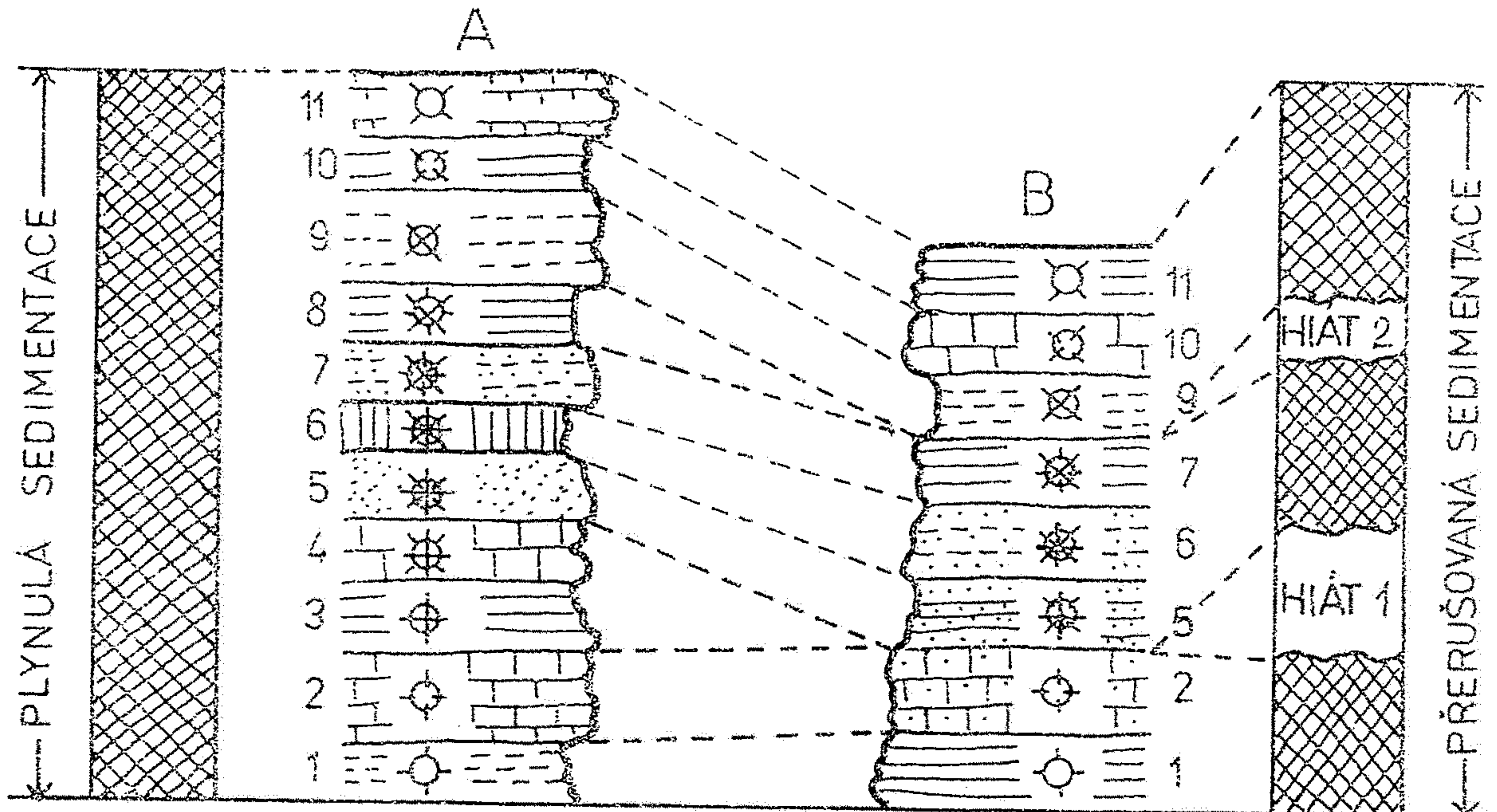


Intervalová zóna a sterilní zóna. Linie se šipkami vyznačují vertikální rozsah určujících taxonů. 1 - Intervalová zóna taxonů A - B, jejíž spodní hranici udávají poslední výskyty taxonu A a svrchní hranici poslední výskyty taxonu B. Paleontologickou nápln interzon tvoří pouze fosilie taxonu B. 2 - Intervalová zóna C - D, jejíž spodní hranici udávají první výskyty taxonu C a svrchní hranici první výskyty taxonu D. Paleontologickou nápln intervalové zony tvoří pouze fosilie taxonu D. 3 - Intervalová zóna A - D, jejíž spodní hranici udávají poslední výskyty taxonu A a svrchní hranici první výskyty taxonu D. Neobsahuje žádné fosilie a lze ji označit jako sterilní interzonu. 4 - Intervalová zóna A - D se stejným vymezením jako v případě 3. Obsahuje však zkameněliny taxonu E, který má oboustranně větší výškový rozsah, takže se na vymezení hranic interzony nepodílí - přesto lze interzonu pracovně označit jako intervalovou zónu taxonu E.

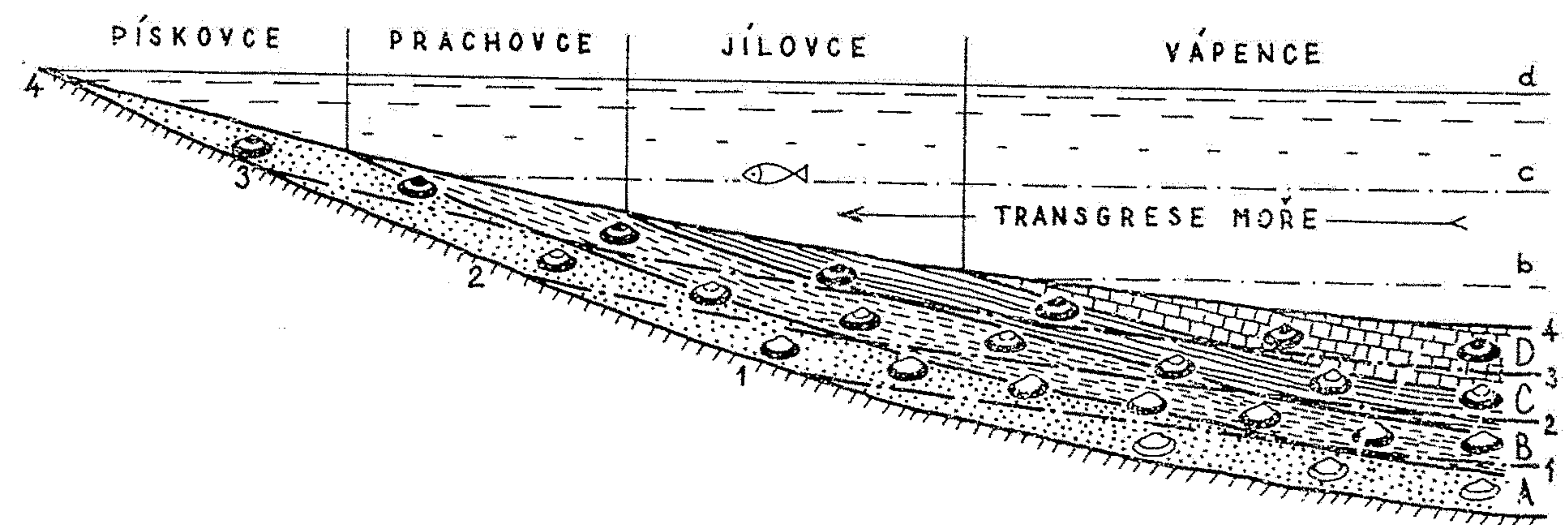
68 Stratigrafická korelace pomocí biozón (zobrazený amonit, belemnit a plž jsou dobré vůdčí zkameněliny pro korelací biozón 1 až 3; zobrazený mlž je pro korelací těchto biozón ne-použitelný, protože se vyskytuje v kterékoli výšce vrstevního sledu)



67 Význam zkamenělin pro stratigrafii; A zkamenělina ramenonožce je pro danou sedimentační pánev stratigraficky bezcenná, neboť se vyskytuje na okraji pánve a ve všech časových úrovních (stejný druh v celém vertikálním sledu vrstev), B zkameněliny dvou typů korálů jsou stratigraficky použitelné jen pro útesové vápence, C zkameněliny tří typů amonitů jsou ideálními vůdčími zkamenělinami pro stratigrafické členění této pánve. Ve spodní části obrázku je schematicky znázorněna stratigrafická korelace tří vertikálních profilů vrstevním sledem této pánve

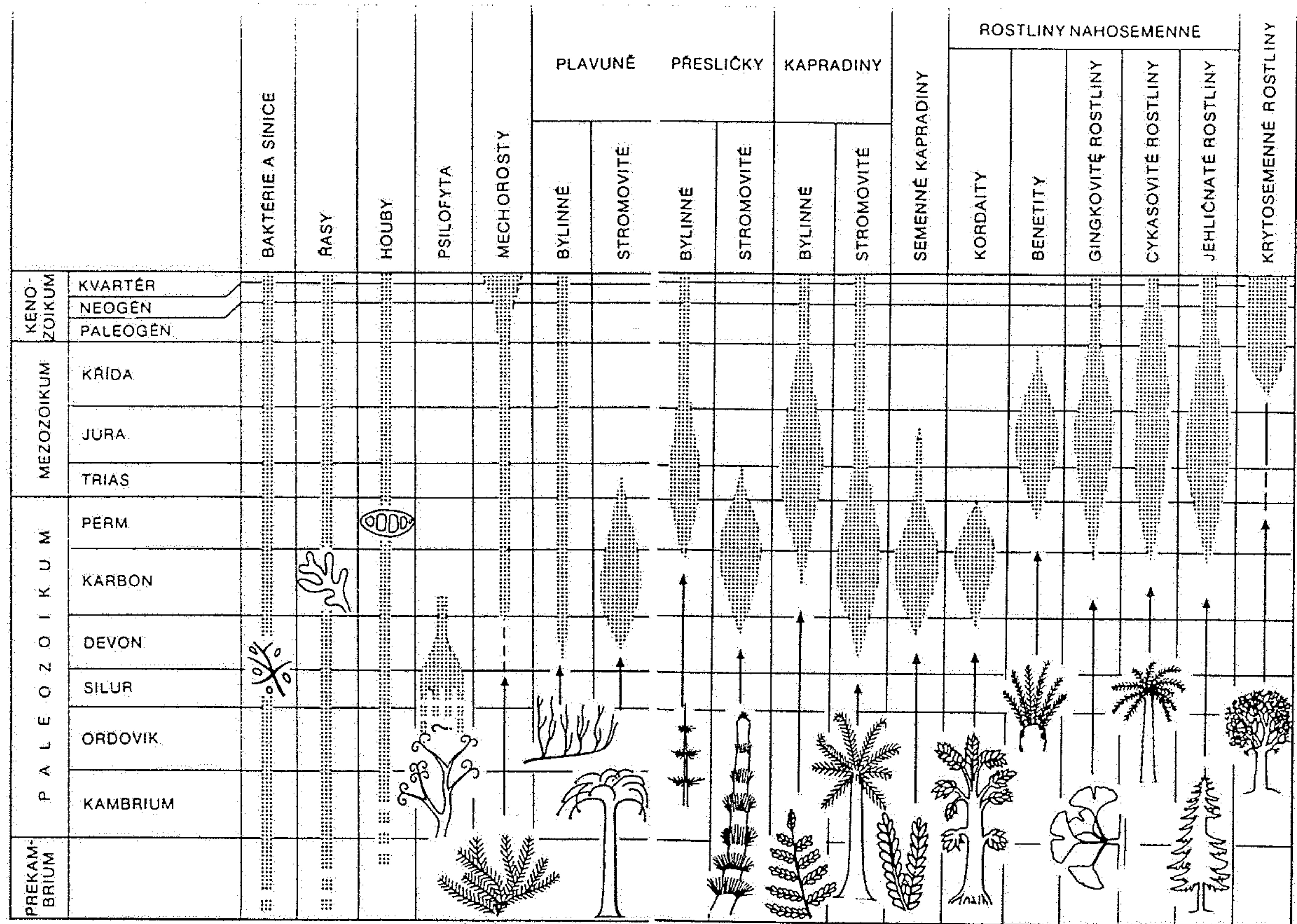


Hiát. V profilu A dokumentují na sebe navazující biozony (1 - 11) plynulosť sedimentace. V profilu B chybějí biozony 3 - 4 a 8, což je dokladem přerušení sedimentace v dané úrovni (hiát)

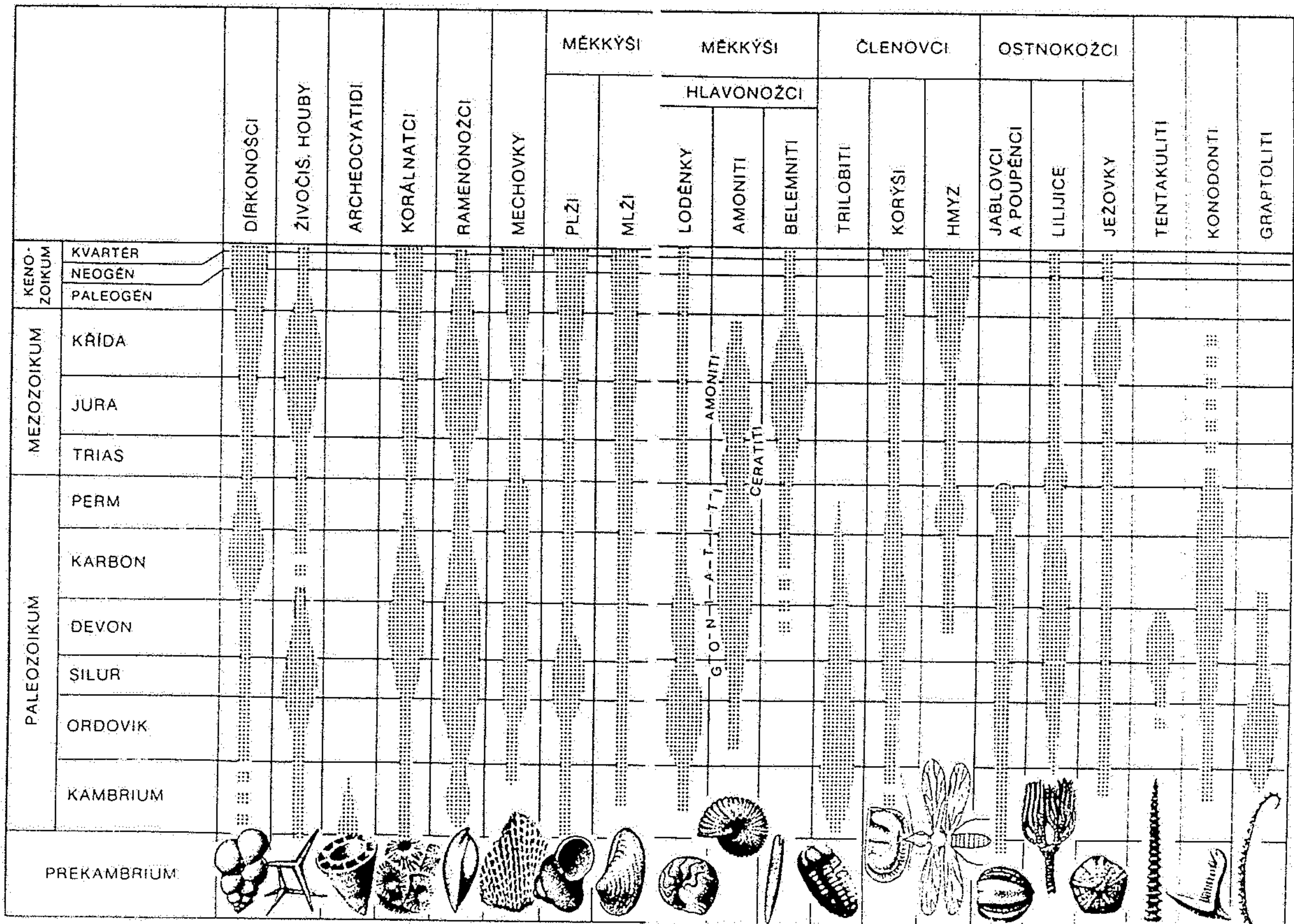


Obr. 41

Diagonální hranice litostratigrafických jednotek vůči izochronním hranicím jednotek chronostratigrafických. A - D chronostratigrafické jednotky definované na biostratigrafickém podkladě (4 různé graficky odlišné taxony - mlži); b - d jim odpovídající stavy hladiny transgredujícího moře; 1 - 4 hranice biostratigrafických jednotek - izochrony



Vývoj a zastoupení hlavních typů rostlinstva v historii Země. Šifka jednotlivých čočkovitě protažených pruhů vyjadřuje relativní četnost zastoupení příslušného typu v dané době.



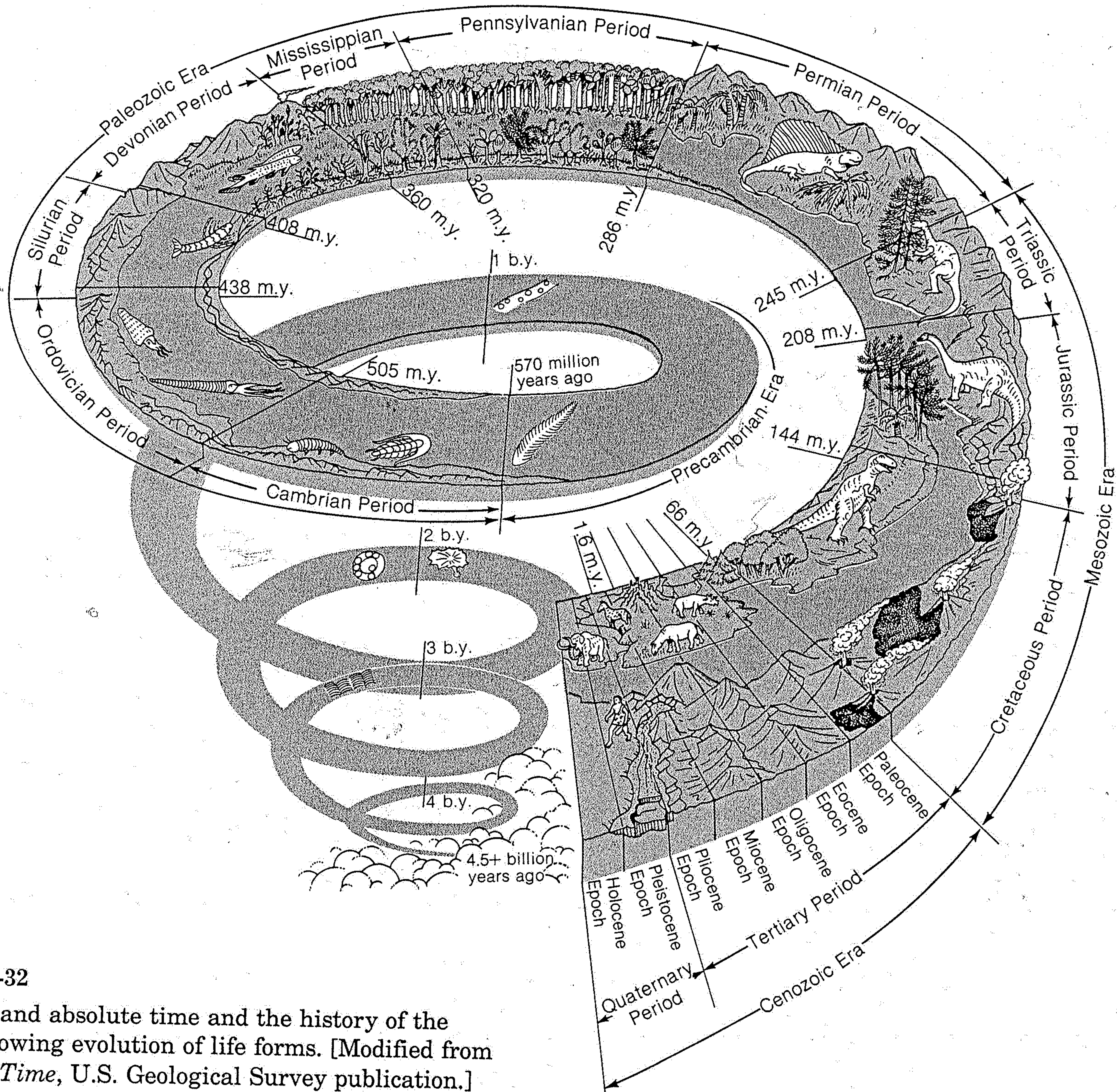
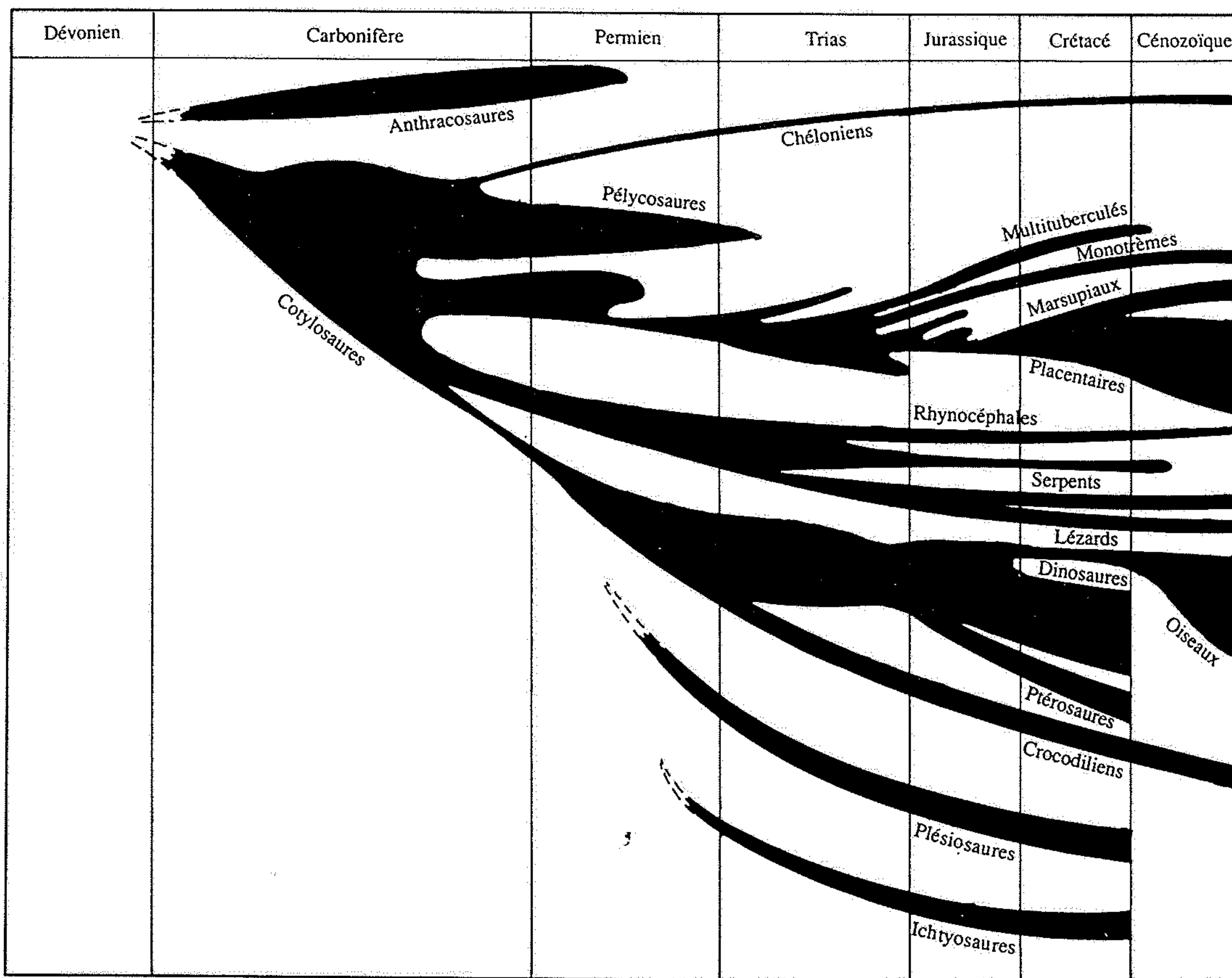


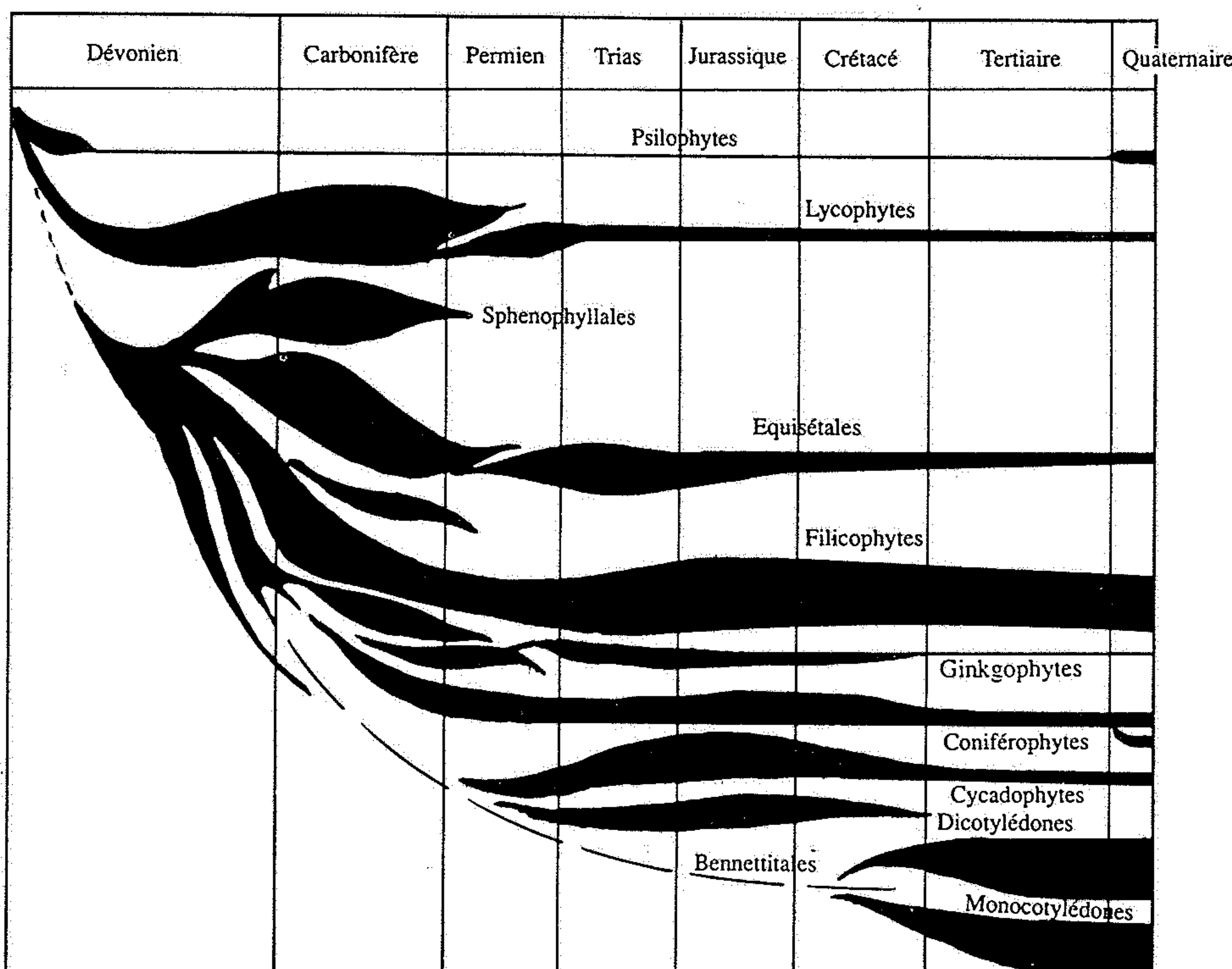
Figure 2-32

Relative and absolute time and the history of the Earth showing evolution of life forms. [Modified from *Geologic Time*, U.S. Geological Survey publication.]

La phylogénèse est l'étude de la formation et de l'enchaînement des lignées évolutives animales et végétales. Cette généalogie, née des théories évolutionnistes, illustre les grands renouvellements faunistiques et floristiques.



Phylogénèse des Vertébrés amniotes Tétrapodes, exception faite des Amphibiens, selon les données paléontologiques (d'après Petit).



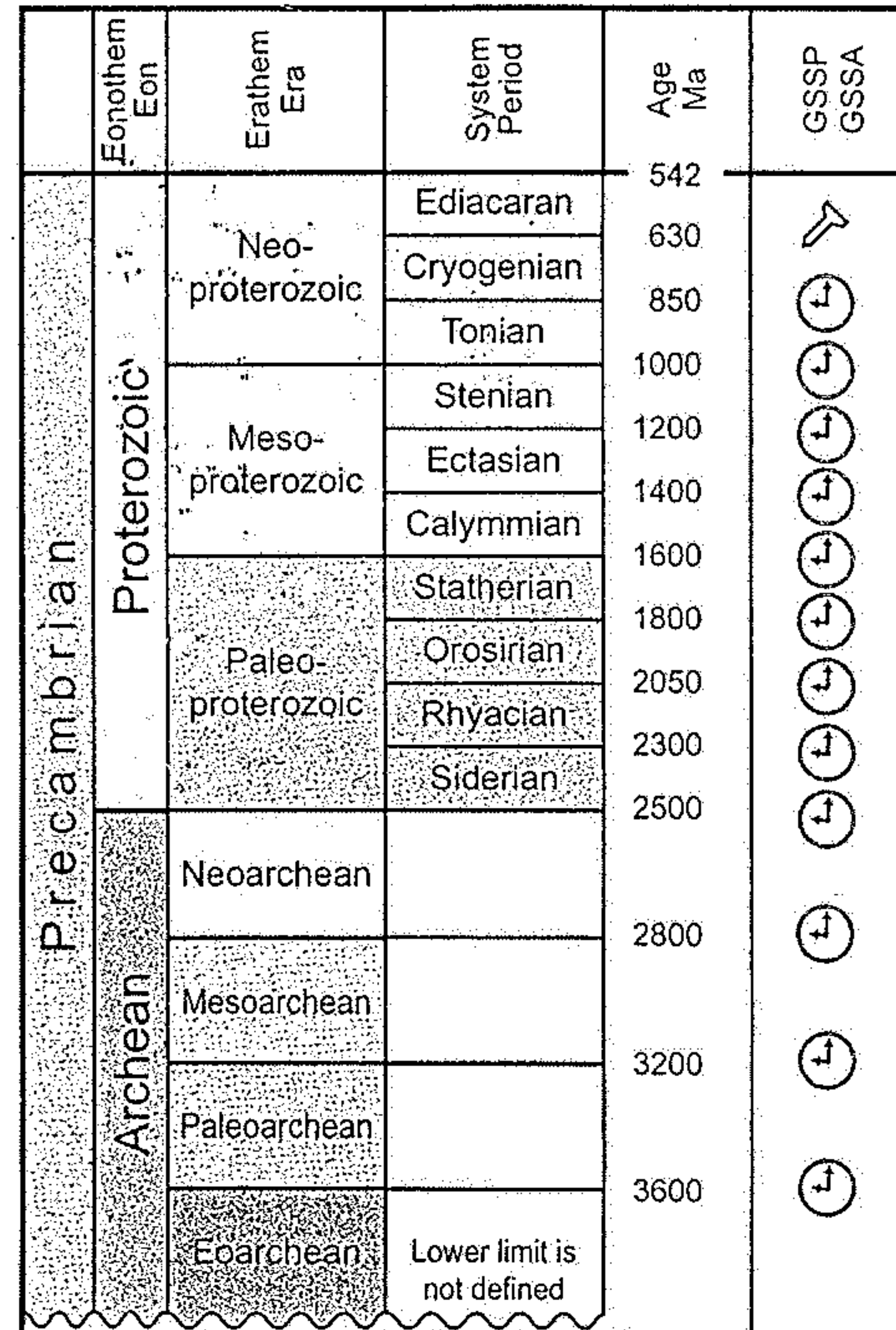
Phylogénèse des végétaux vasculaires



INTERNATIONAL STRATIGRAPHIC CHART

International Commission on Stratigraphy

Cenozoic		Paleozoic		Phanerozoic		Phanerozoic		Phanerozoic		Precambrian	
Eon	Era	Eon	Era	Eon	Era	Eon	Era	Eon	Era	Eon	Era
System Period	Series Epoch	Stage Age	Age Ma	System Period	Series Epoch	Stage Age	Age Ma	System Period	Stage Age	System Period	Age Ma
Mesozoic	Cretaceous	Holocene	0.0115	Paleozoic	Carboniferous	Tithonian	145.5 ± 4.0	Phanerozoic	Famennian	Ediacaran	542
		Upper	0.126			Kimmeridgian	150.8 ± 4.0		Frasnian	Neo-próterozoic	630
		Middle	0.781			Oxfordian	155.7 ± 4.0		Givetian	Cryogenian	850
		Lower	1.806			Callovian	161.2 ± 4.0		Eifelian	Tonian	1000
		Gelasian	2.588			Bathonian	164.7 ± 4.0		Emsian	Stenian	1200
		Piacenzian	3.600			Bajocian	167.7 ± 3.5		Pragian	Ectasian	1400
		Zanclean	5.332			Aalenian	171.6 ± 3.0		Lochkovian	Calymmian	1600
		Messinian	7.246			Toarcian	175.6 ± 2.0		Pridoli	Statherian	1800
		Tortonian	11.608			Pliensbachian	183.0 ± 1.5		Ludfordian	Orosirian	2050
		Serravallian	13.65			Sinemurian	189.6 ± 1.5		Gorstian	Rhyacian	2300
		Langhian	15.97			Hettangian	196.5 ± 1.0		Homerian	Siderian	2500
		Burdigalian	20.43			Rhaetian	199.6 ± 0.6		Wenlock	Neoarchean	2800
		Aquitanian	23.03			Norian	203.6 ± 1.5		Ludlow	Mesoarchean	3200
		Oligocene	28.4 ± 0.1			Carnian	216.5 ± 2.0		Gorstian	Paleoarchean	3600
		Rupelian	33.9 ± 0.1			Ladinian	228.0 ± 2.0		Homerian		
		Priabonian	37.2 ± 0.1			Anisian	237.0 ± 2.0		Sheinwoodian		
		Bartonian	40.4 ± 0.2			Olenekian	245.0 ± 1.5		Telychian		
		Lutetian	48.6 ± 0.2			Changhsingian	249.7 ± 0.7		Aeronian		
		Ypresian	55.8 ± 0.2			Wuchiapingian	251.0 ± 0.4		Rhuddanian		
		Thanetian	58.7 ± 0.2			Capitanian	253.8 ± 0.7		Hirnantian		
		Selandian	61.7 ± 0.2			Wordian	260.4 ± 0.7		Darriwilian		
		Danian	65.5 ± 0.3			Roadian	265.8 ± 0.7		Upper		
		Maastrichtian	70.6 ± 0.6			Kungurian	270.6 ± 0.7		Middle		
		Campanian	83.5 ± 0.7			Artinskian	275.6 ± 0.7		Lower		
		Santonian	85.8 ± 0.7			Sakmarian	284.4 ± 0.7		Furongian		
		Coniacian	89.3 ± 1.0			Asselian	294.6 ± 0.8		Paibian		
		Turonian	93.5 ± 0.8			Gzhelian	299.0 ± 0.8		Middle		
		Cenomanian	99.6 ± 0.9			Kasimovian	303.9 ± 0.9		Lower		
		Albian	112.0 ± 1.0			Moscovian	306.5 ± 1.0				
		Aptian	125.0 ± 1.0			Bashkirian	311.7 ± 1.1				
		Barremian	130.0 ± 1.5			Serpukhovian	318.1 ± 1.3				
		Hauterivian	136.4 ± 2.0			Visean	326.4 ± 1.6				
		Valanginian	140.2 ± 3.0			Tournaisian	345.3 ± 2.1				
		Berriasian	145.5 ± 4.0				359.2 ± 2.5				



Subdivisions of the global geologic record are formally defined by their lower boundary. Each unit of the Phanerozoic interval (~542 Ma to Present) and the base of the Ediacaran is defined by a Global Standard Section and Point (GSSP) at its base, whereas the Precambrian Interval is formally subdivided by absolute age, Global Standard Stratigraphic Age (GSSA).

This chart gives an overview of the international chronostratigraphic units, their rank, their names and formal status. These units are approved by the International Commission on Stratigraphy (ICS) and ratified by the International Union of Geological Sciences (IUGS).

The Guidelines of the ICS (Remane et al., 1996, Episodes, 19: 77-81) regulate the selection and

definition of the international units of geologic time. Many GSSPs actually have a 'golden' spike (↗) and Stage and/or System name plaque mounted at the boundary level in the boundary stratotype section, whereas a GSSA is an abstract age without reference to a specific level in a rock section on Earth. Updated descriptions of each GSSP and GSSA are posted on the ICS website (www.stratigraphy.org).

Some stages within the Ordovician and Cambrian will be formally named upon international agreement on their GSSP limits. Most intra-stage boundaries (e.g., Middle and Upper Aptian) are not formally defined. Numerical ages of the unit boundaries in the Phanerozoic are subject to revision. Colors are according to the Commission for the Geological Map of the World (www.cgmw.org). The listed numerical ages are from 'A Geologic Time Scale 2004', by Gradstein, Ogg, Smith, et al. (2004; Cambridge University Press).

This chart was drafted and printed with funding generously provided for the GTS Project 2004 by ExxonMobil, Statoil Norway, ChevronTexaco and BP. The chart was produced by Gabi Ogg.

Copyright © 2004 International Commission on Stratigraphy



INTERNATIONAL STF

International Comm

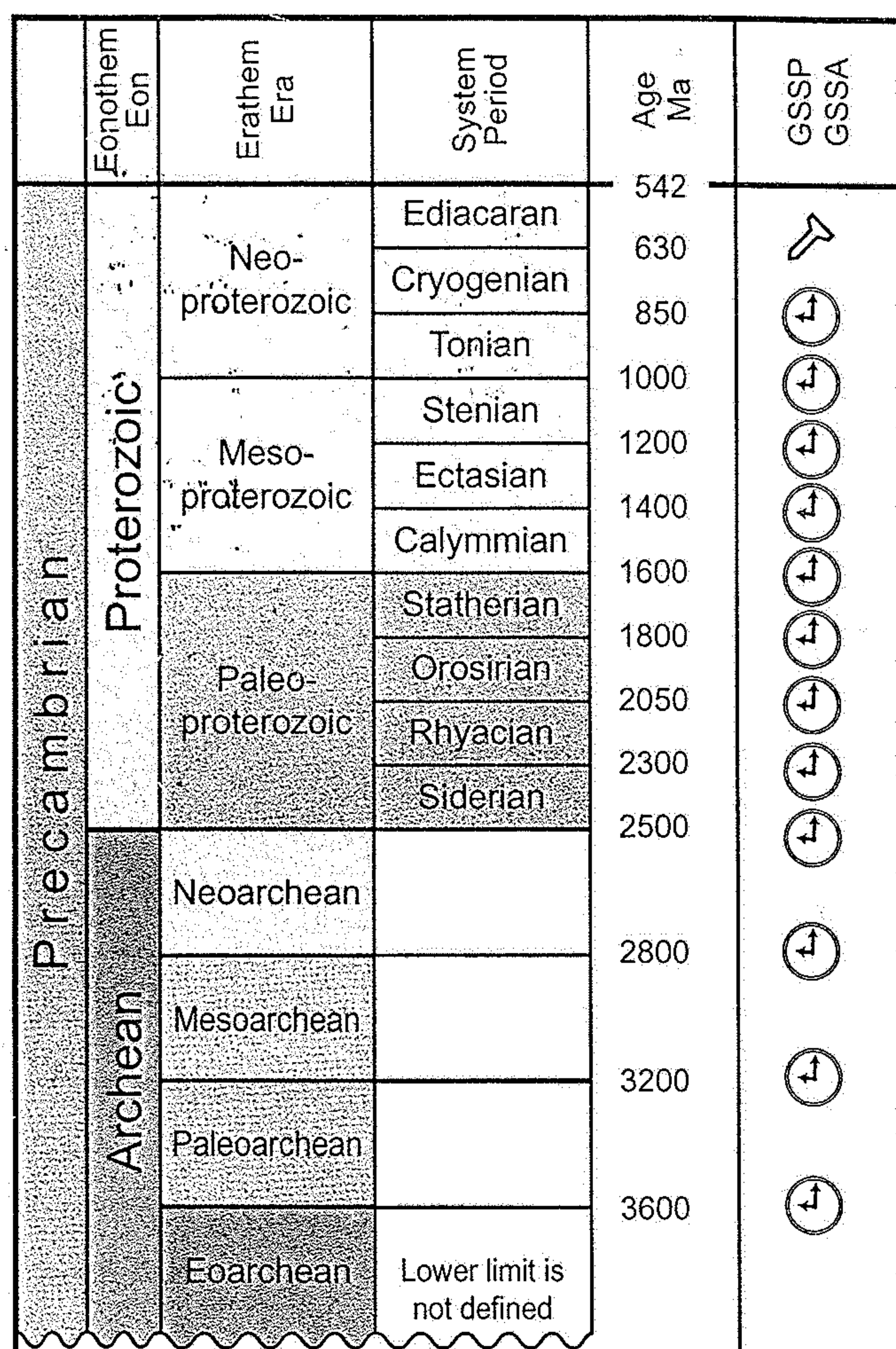
Eonothem Eon	Erathem Era	System Period	Series Epoch	Stage Age	Age Ma	GSSP
Phanerozoic	Cenozoic	Neogene	Miocene	Holocene	0.0115	
				Upper	0.126	
				Middle	0.781	
				Lower	1.806	Y
				Gelasian	2.588	Y
				Piacenzian	3.600	Y
				Zanclean	5.332	Y
				Messinian	7.246	Y
				Tortonian	11.608	Y
				Serravallian	13.65	
				Langhian	15.97	
				Burdigalian	20.43	
			Oligocene	Aquitanian	23.03	Y
				Chattian	28.4 ±0.1	Y
				Rupelian	33.9 ±0.1	Y
				Priabonian	37.2 ±0.1	
				Bartonian	40.4 ±0.2	
				Lutetian	48.6 ±0.2	Y
				Ypresian	55.8 ±0.2	
				Thanetian	58.7 ±0.2	
				Selandian	61.7 ±0.2	Y
				Danian	65.5 ±0.3	Y
			Upper	Maastrichtian	70.6 ±0.6	
				Campanian	83.5 ±0.7	
				Santonian	85.8 ±0.7	
				Coniacian	89.3 ±1.0	Y
				Turonian	93.5 ±0.8	Y
				Cenomanian	99.6 ±0.9	Y
				Albian	112.0 ±1.0	
				Aptian	125.0 ±1.0	
				Barremian	130.0 ±1.5	
				Hauterivian	136.4 ±2.0	
				Valanginian	140.2 ±3.0	
			Lower	Berriasian	145.5 ±4.0	

Eonothem Eon	Erathem Era	System Period	Series Epoch	Stage Age	Age Ma	GSSP
Phanerozoic	Mesozoic	Jurassic	Middle	Tithonian	145.5 ±4.0	
				Kimmeridgian	150.8 ±4.0	
				Oxfordian	155.7 ±4.0	
				Callovian	161.2 ±4.0	
				Bathonian	164.7 ±4.0	
				Bajocian	167.7 ±3.5	
				Aalenian	171.6 ±3.0	
				Toarcian	175.6 ±2.0	
				Pliensbachian	183.0 ±1.5	
				Sinemurian	189.6 ±1.5	
				Hettangian	196.5 ±1.0	
			Upper	Rhaetian	199.6 ±0.6	
				Norian	203.6 ±1.5	
				Carnian	216.5 ±2.0	
				Ladinian	228.0 ±2.0	
				Anisian	237.0 ±2.0	
				Olenekian	245.0 ±1.5	
				Induan	249.7 ±0.7	
				Changhsingian	251.0 ±0.4	
				Wuchiapingian	253.8 ±0.7	
				Capitanian	260.4 ±0.7	
				Wordian	265.8 ±0.7	
			Cisuralian	Roadian	268.0 ±0.7	
				Kungurian	270.6 ±0.7	
				Artinskian	275.6 ±0.7	
				Sakmarian	284.4 ±0.7	
				Asselian	294.6 ±0.8	
				Gzhelian	299.0 ±0.8	
				Kasimovian	303.9 ±0.9	
				Moscovian	306.5 ±1.0	
				Bashkirian	311.7 ±1.1	
				Serpukhovian	318.1 ±1.3	
				Visean	326.4 ±1.6	
			Mississippian	Tournaisian	345.3 ±2.1	
					359.2 ±2.5	

RATIGRAPHIC CHART

mission on Stratigraphy

Eonothem Eon	Erathem Era	System Period	Series Epoch	Stage Age	Age Ma	GSSP	
Phanerozoic	Paleozoic	Devonian	Upper	Famennian	359.2 ± 2.5		
				Frasnian	374.5 ± 2.6	↗	
				Givetian	385.3 ± 2.6	↗	
				Eifelian	391.8 ± 2.7	↗	
				Emsian	397.5 ± 2.7	↗	
				Pragian	407.0 ± 2.8	↗	
		Middle		Lochkovian	411.2 ± 2.8	↗	
				Pridoli	416.0 ± 2.8	↗	
				Ludlow	418.7 ± 2.7	↗	
				Ludfordian	421.3 ± 2.6	↗	
				Gorstian	422.9 ± 2.5	↗	
				Wenlock	426.2 ± 2.4	↗	
		Lower		Homerian	428.2 ± 2.3	↗	
				Sheinwoodian	436.0 ± 1.9	↗	
				Telychian	439.0 ± 1.8	↗	
				Aeronian	443.7 ± 1.5	↗	
				Rhuddanian	445.6 ± 1.5	↗	
				Hirnantian	455.8 ± 1.6	↗	
Paleozoic	Ordovician	Upper		Darriwilian	460.9 ± 1.6	↗	
					468.1 ± 1.6	↗	
					471.8 ± 1.6	↗	
					478.6 ± 1.7	↗	
				Tremadocian	488.3 ± 1.7	↗	
					501.0 ± 2.0		
		Middle		Furongian	513.0 ± 2.0		
				Paibian	542.0 ± 1.0	↗	
Paleozoic	Cambrian	Lower					



Subdivisions of the global geologic record are formally defined by their lower boundary. Each unit of the Phanerozoic interval (~542 Ma to Present) and the base of the Ediacaran is defined by a Global Standard Section and Point (GSSP) at its base, whereas the Precambrian Interval is formally subdivided by absolute age, Global Standard Stratigraphic Age (GSSA).

This chart gives an overview of the international chronostratigraphic units, their rank, their names and formal status. These units are approved by the International Commission on Stratigraphy (ICS) and ratified by the International Union of Geological Sciences (IUGS).

The Guidelines of the ICS (Remane et al., 1996, Episodes, 19: 77-81) regulate the selection and

definition of the international units of geologic time. Many GSSP's actually have a 'golden' spike (↗) and Stage and/or System name plaque mounted at the boundary level in the boundary stratotype section, whereas a GSSA is an abstract age without reference to a specific level in a rock section on Earth. Updated descriptions of each GSSP and GSSA are posted on the ICS website (www.stratigraphy.org).

Some stages within the Ordovician and Cambrian will be formally named upon international agreement on their GSSP limits. Most intra-stage boundaries (e.g., Middle and Upper Aptian) are not formally defined. Numerical ages of the unit boundaries in the Phanerozoic are subject to revision. Colors are according to the Commission for the Geological Map of the World (www.cgmw.org). The listed numerical ages are from 'A Geologic Time Scale 2004', by Gradstein, Ogg, Smith, et al. (2004; Cambridge University Press).

This chart was drafted and printed with funding generously provided for the GTS Project 2004 by ExxonMobil, Statoil Norway, ChevronTexaco and BP. The chart was produced by Gabi Ogg.

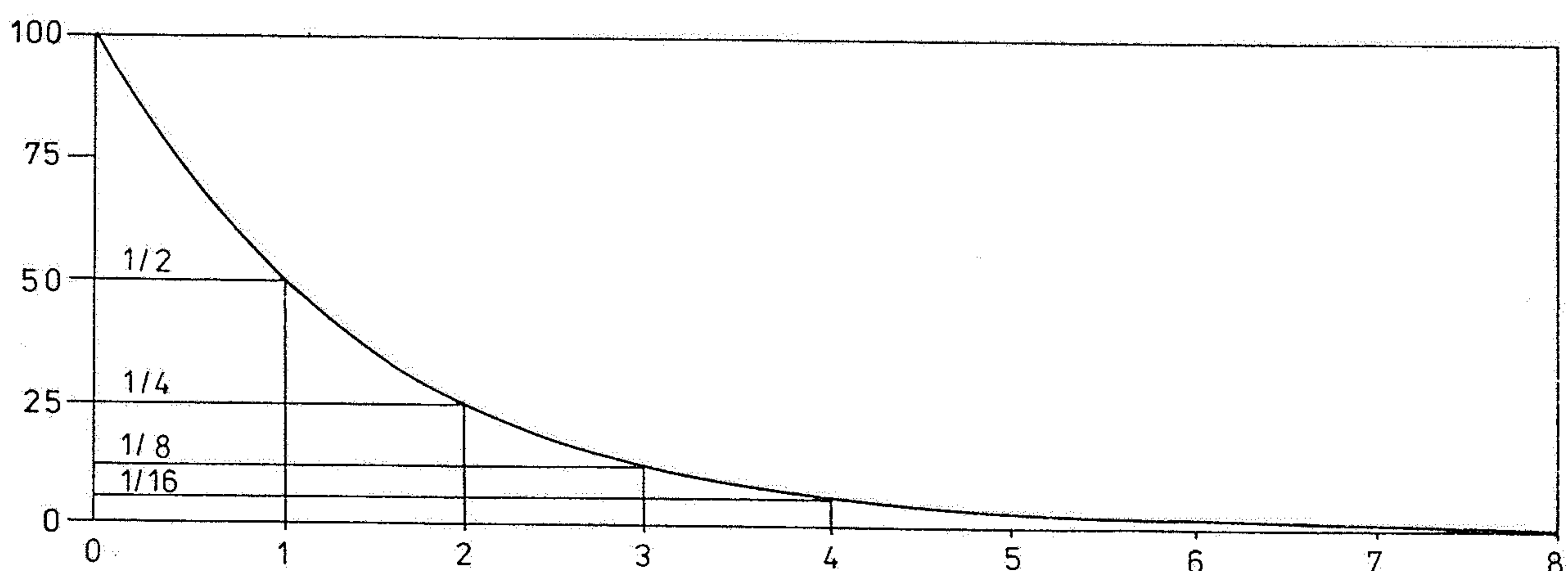
	ERA	ÚTVAR – (PERIODA)	ODDĚLENÍ – (EPOCHA)	Ma	
F	KENOZOIKUM	KVARTÉR	HOLOCÉN PLEISTOCÉN	1,8	
A	MESOZOIKUM	TERCIÉR	NEOGÉN PALEOGÉN	65,5	
N	TRIAS	KŘÍDA	SVRCHNÍ SPODNÍ	145,5	
E	PERM	JURA	SV. - MALM STŘ. - DOGGER SP. - LIAS	199,6	
R	KARBON	SV. - KEUPER STŘ. - MUSCHELKALK SP. - BUNTSANDSTEIN	228 245	251	
O	PALEOZOIKUM	DEVON	SV. - LOPINGIAN STŘ. - GUADALUPIAN SP. - CISURALIAN	260 270,6	299
Z	SILUR	KARBON	SV. - PENSYLVANIAN SP. - MISSISSIPIAN	318	359,2
I	ORDOVÍK	DEVON	SVRCHNÍ STŘEDNÍ SPODNÍ	385,3 397,5	416
K	KAMBRIUM	SILUR	PŘÍDOL LUDLOW WENLOCK LLANDOVERY	418,7 422,9 428,2	443,7
U	PROTEROZOIKUM	ORDOVÍK	SVRCHNÍ STŘEDNÍ SPODNÍ	460,9 471,8	488,3
M	ARCHAIKUM	KAMBRIUM	SVRCHNÍ STŘEDNÍ SPODNÍ	501 513	542
	PREKAMBRIUM	PROTEROZOIKUM	NEOPROTEROZ. MESOPROTEROZ. PALEOPROTEROZ.	1000 1600	2500
		ARCHAIKUM	NEOARCHAIKUM MEZOARCHAIKUM PALEOARCHAIKUM EOARCHAIKUM	2800 3200 3600	

Tab. IV. TRIAS - JURA

vrásnění

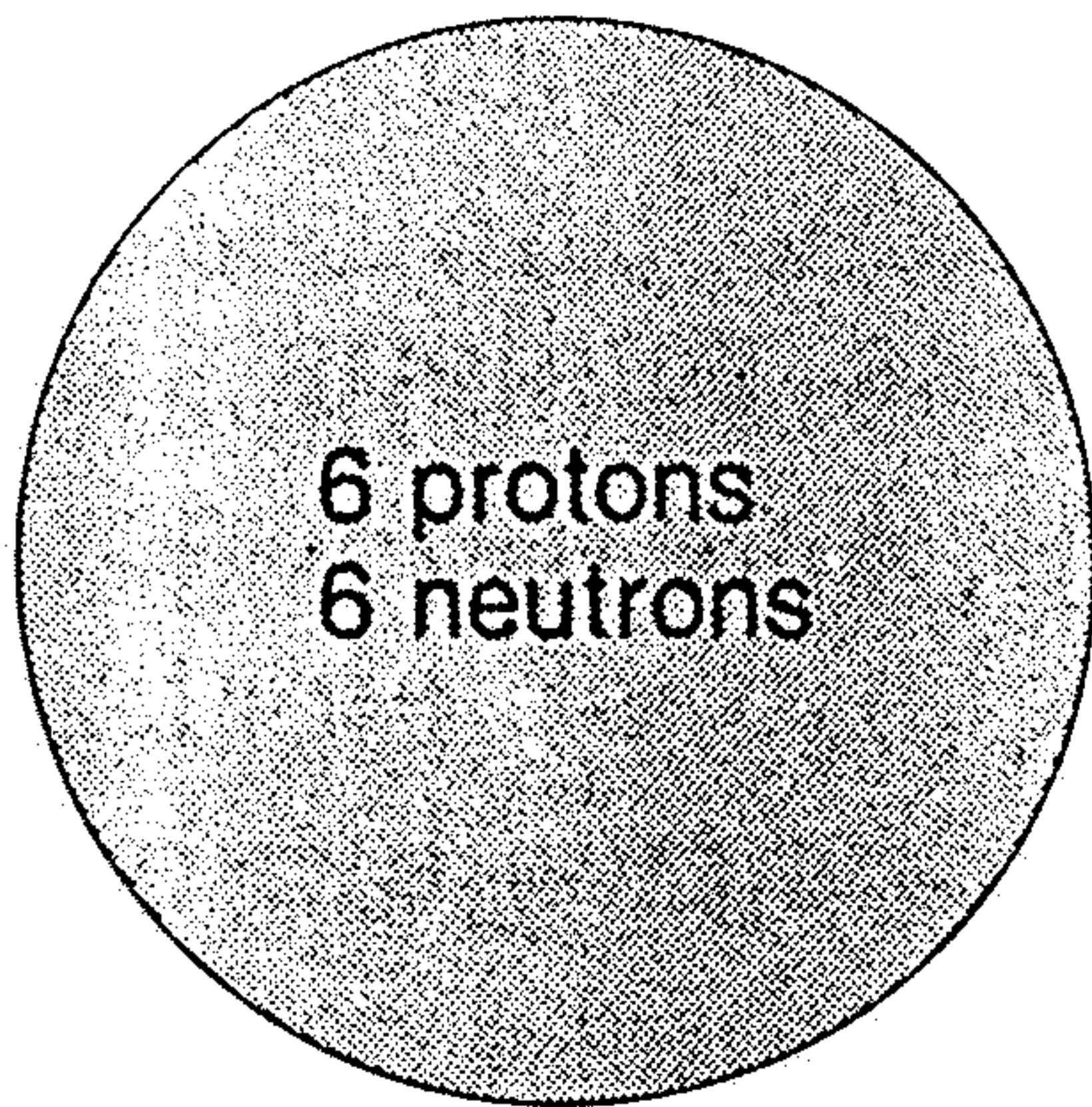
horotvarné fáze	milliony let	útvary	oddělení	stupeň	podstupeň	epikontinen-tální vývoj
MLADO-KIMERSKÁ	135	Sv.		PORTLAND = (TITHON = VOLHYN)		
				KIMMERIDGE		MALM
				OXFORD (=LUSITAN= CORALL)	SEQUAN RAURAC ARGOT	("bílá jura")
				CALLOV		
				BATH		
	167	Str.		BAJOC		DOGGER
				AALEN		("hnědá jura")
				TOARC		
				PLIENSBACH	DOMER CARIX	LIAS
				SINEMUR s.l.	LOTHARING SINEMUR s.s.	("černá jura")
STARO-KIMERSKÁ	192	Sv.		HETTANG		
				RHAET (RÉT)		
				NOR	SEVAT ALAUN LAK	KEUPER
				CARN	TUVAL JUL KORDEVOL	("pestrý slín")
				LADIN	LONGOBARD FASSAN	
	210	Str.		ANIS (= "VIRGLOR")	ILLYR PELSON BYTHYN EGEJ	MÜSCHELKALK ("lasturnatý vápenec")
				SPAT		
				NAMAL	SMITH DIENER	
				GRIESBACH		
VARIISKÉ	215	Sp.	SCYTH			
FALCKÁ	230					

chronostratigrafický název	geochronologický název	příklad jednotky
eonotem	eon	fanerozoikum
eratem	éra	paleozoikum
útvář	perioda	kambrium
oddělení	epocha	lias
stupeň	věk	hetang
chronozóna	chron	calpionella alpina



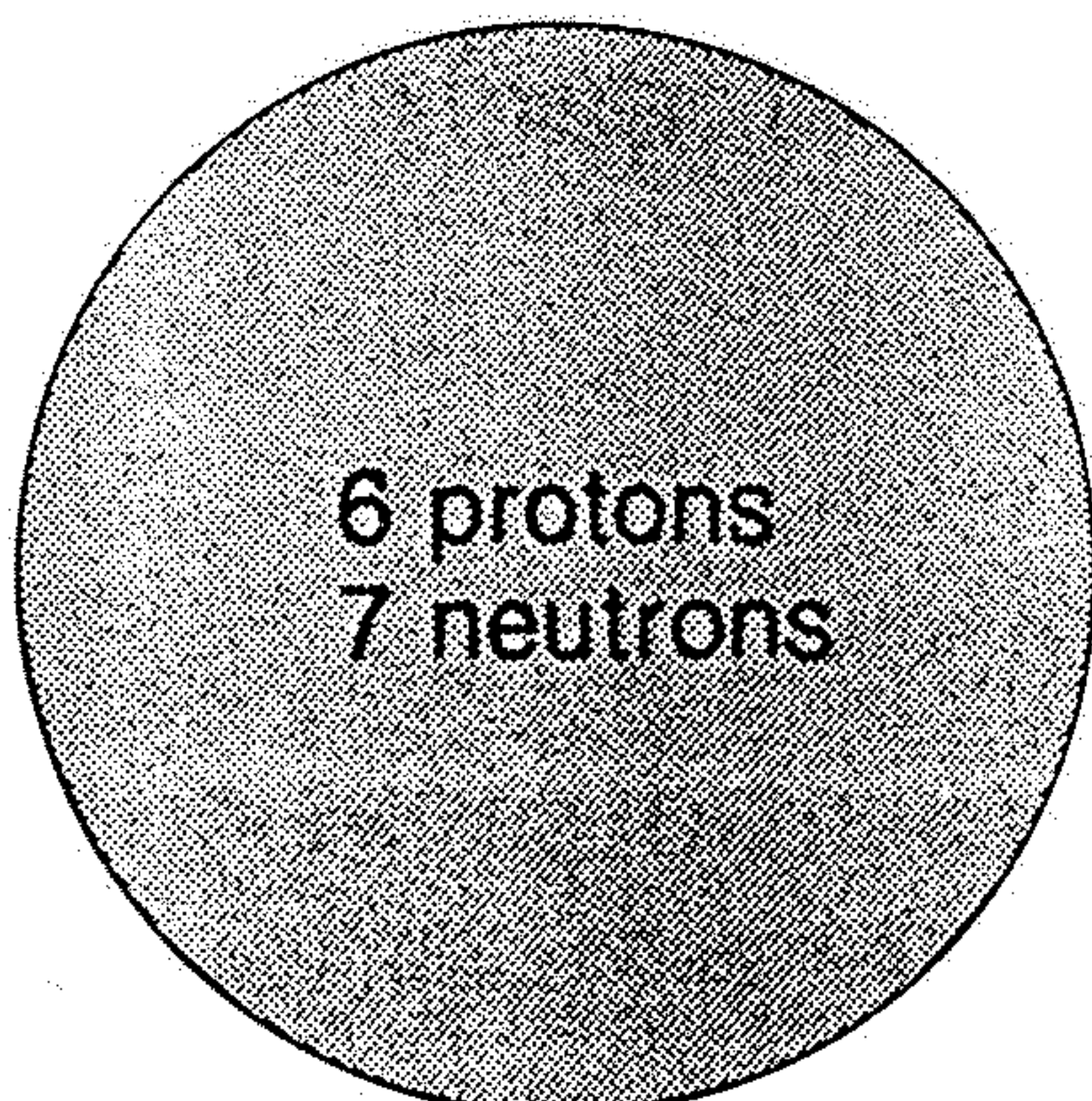
Obecná křivka rozpadu radioaktivních prvků v závislosti na poločase rozpadu. Na vertikále je vyznačen percentuální obsah radioaktivního prvku a na horizontále jsou jednotky poločasu libovolného radioaktivního prvku.
(Upraveno podle: R. H. Dott Jr., R. L. Batten 1981.)

Radioaktivní prvek	Konečný produkt	Poločas
Uran $^{238}_{\text{U}}$	Olovo $^{206}_{\text{Pb}}$	4,51 miliardy let
Uran $^{235}_{\text{U}}$	Olovo $^{207}_{\text{Pb}}$	0,713 " "
Thorium $^{232}_{\text{Th}}$	Olovo $^{208}_{\text{Pb}}$	13,9 " "
Rubidium $^{87}_{\text{Rb}}$	Stroncium $^{87}_{\text{Sr}}$	47,0 " "
Draslík $^{40}_{\text{K}}$	Argon $^{40}_{\text{Ar}}$	1,3 " "
Uhlík $^{14}_{\text{C}}$	Dusík $^{14}_{\text{N}}$	5.730 let
Samarium $^{147}_{\text{Sm}}$	Neodymium $^{143}_{\text{Nd}}$	$1,06 \times 10^{11}$ let



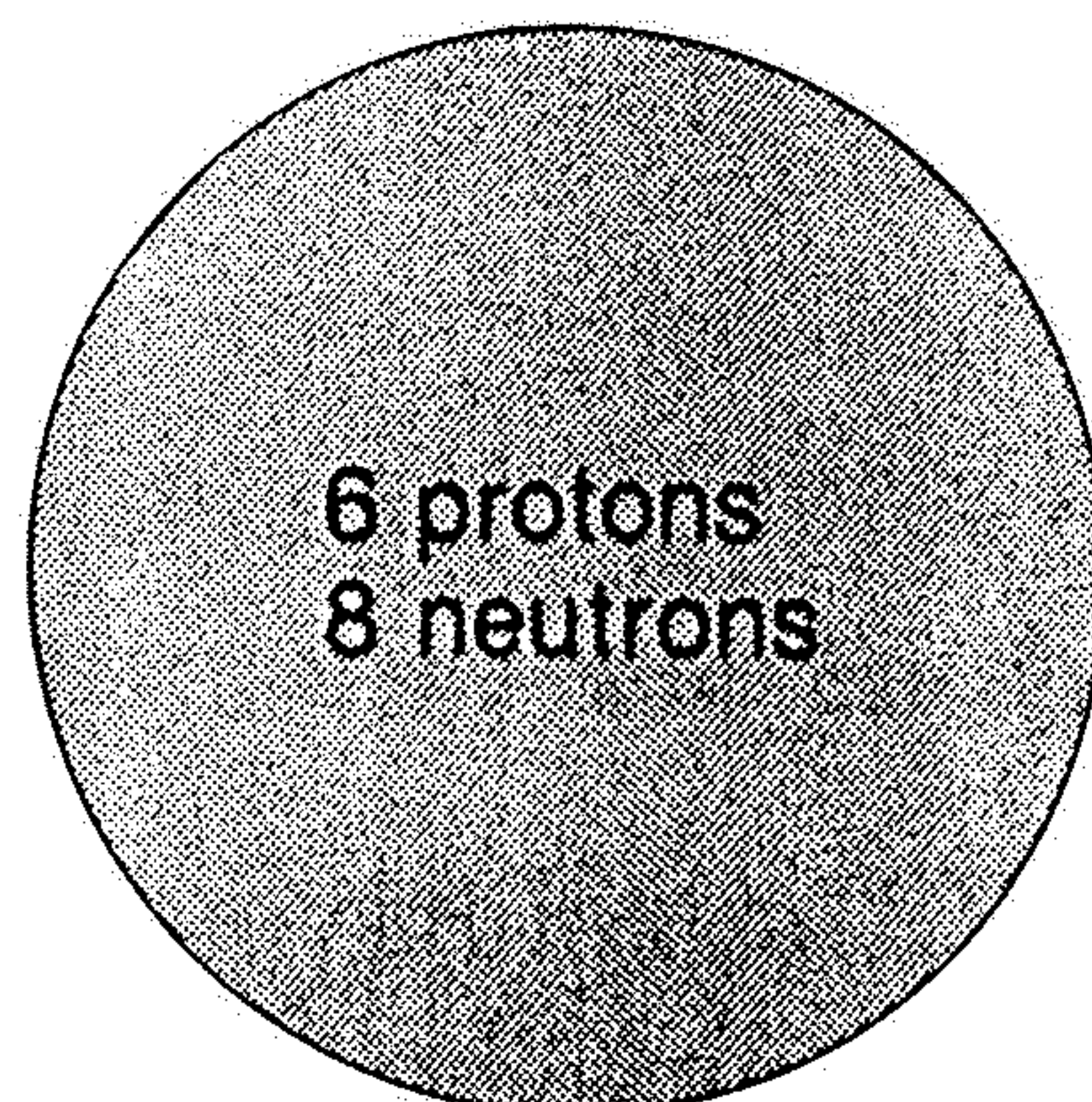
^{12}C
Stable

+ 6 electrons



^{13}C
Stable

+ 6 electrons

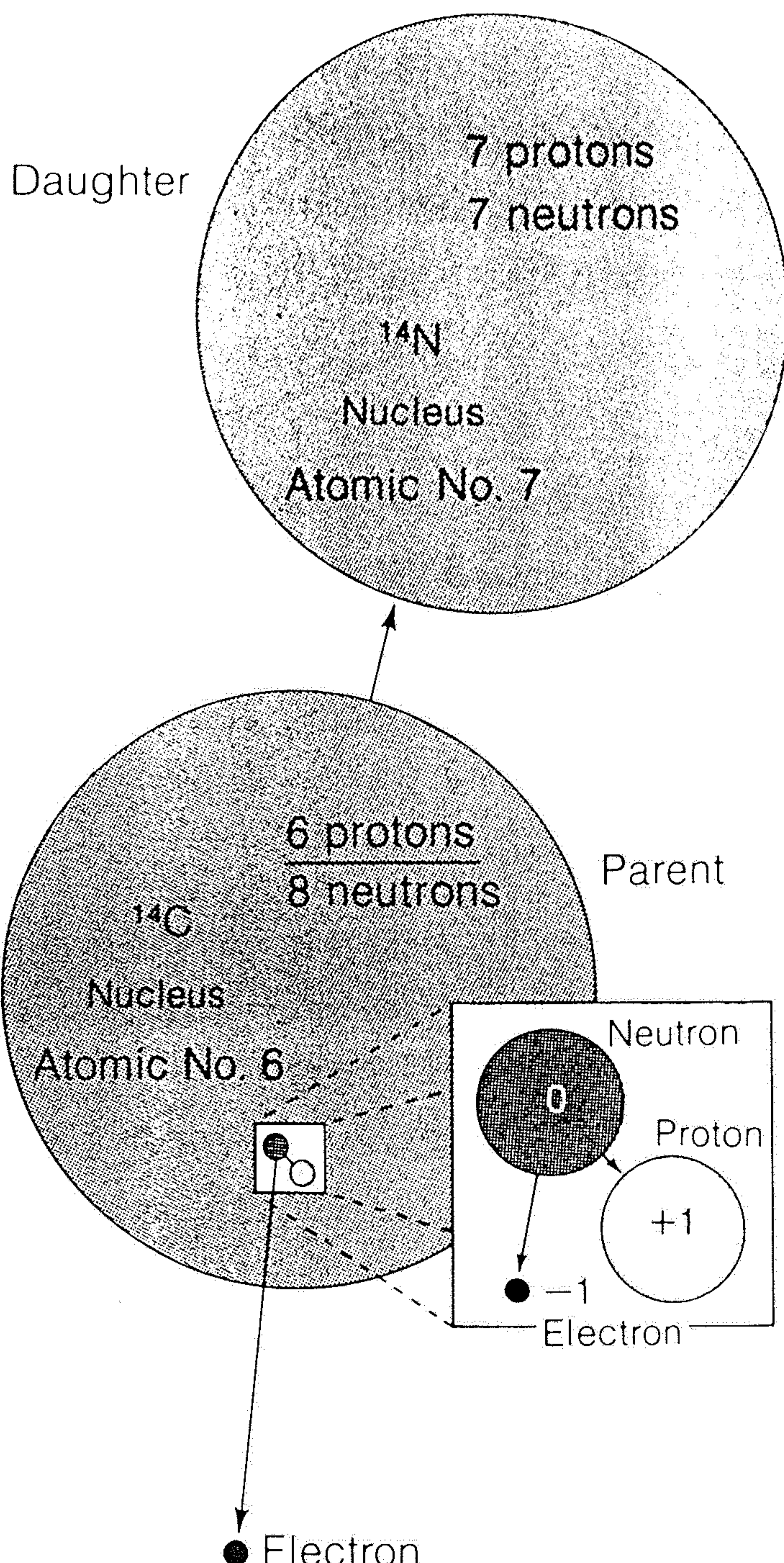


^{14}C
Radioactive

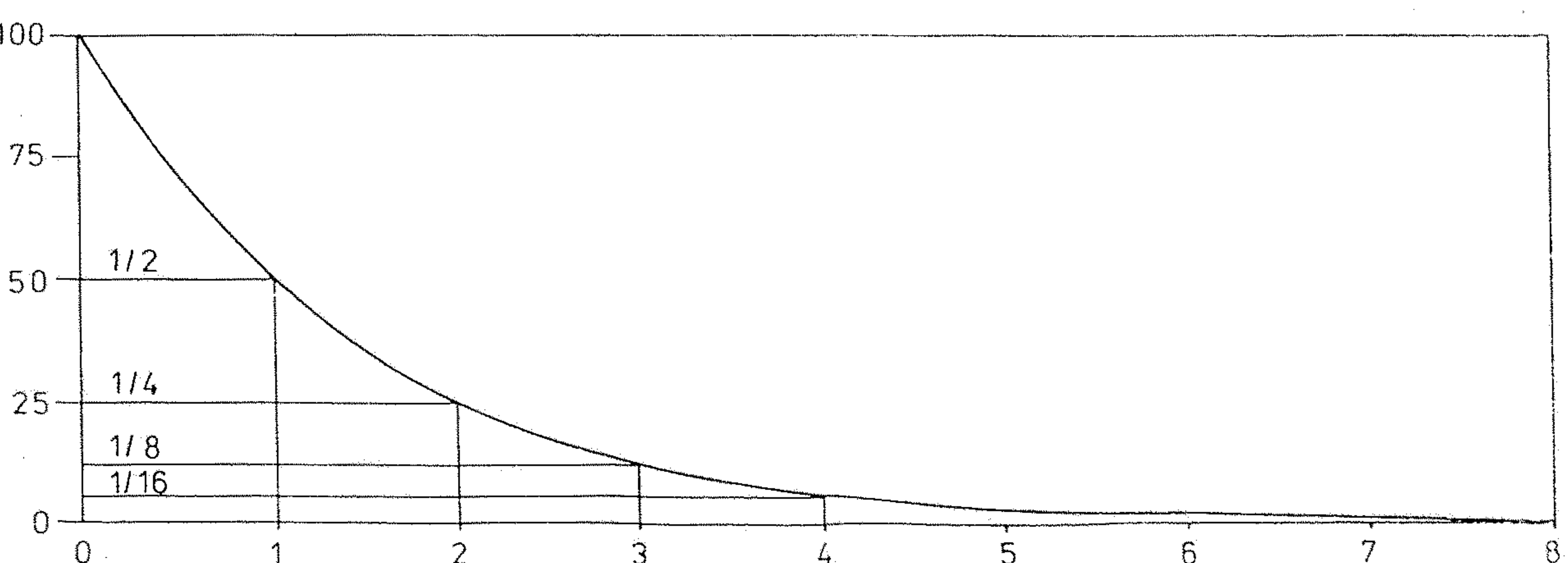
+ 6 electrons

Figure 2-27

Carbon isotopes. All have the same number of protons, and thus atomic number 6, but each isotope has a different number of neutrons.



A radioactive carbon atom, ^{14}C , spontaneously decays to a nitrogen atom, ^{14}N , by emitting a β -particle. This is the same process by which radioactive rubidium, ^{87}Rb , decays to strontium, Sr^{87} .

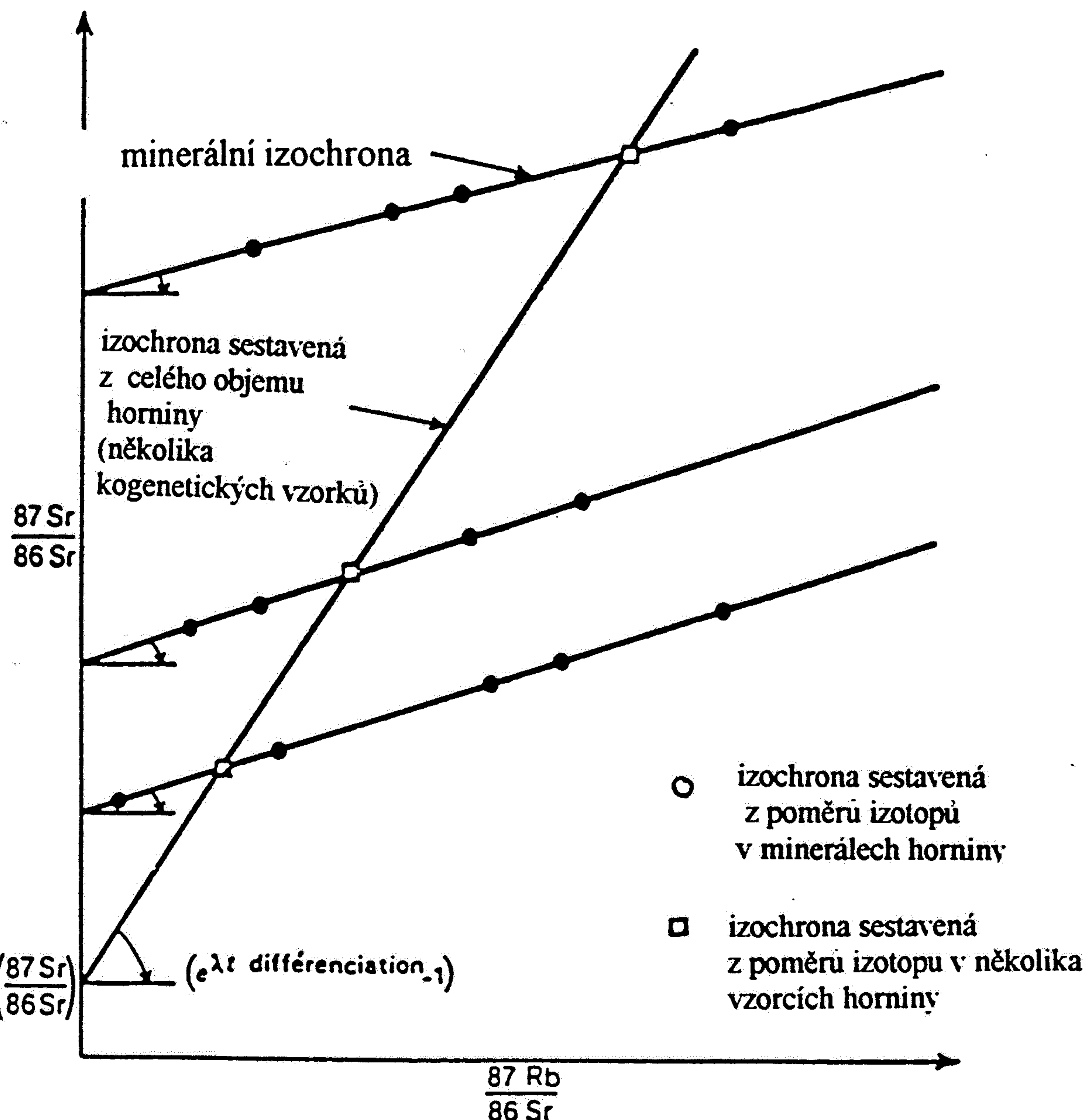


Obr. 32

Obecná křivka rozpadu radioaktivních prvků v závislosti na poločase rozpadu. Na vertikále je vyznačen percentuální obsah radioaktivního prvku a na horizontále jsou jednotky poločasu libovolného radioaktivního prvku.
(Upraveno podle: R. H. Dott Jr., R. L. Batten 1981.)

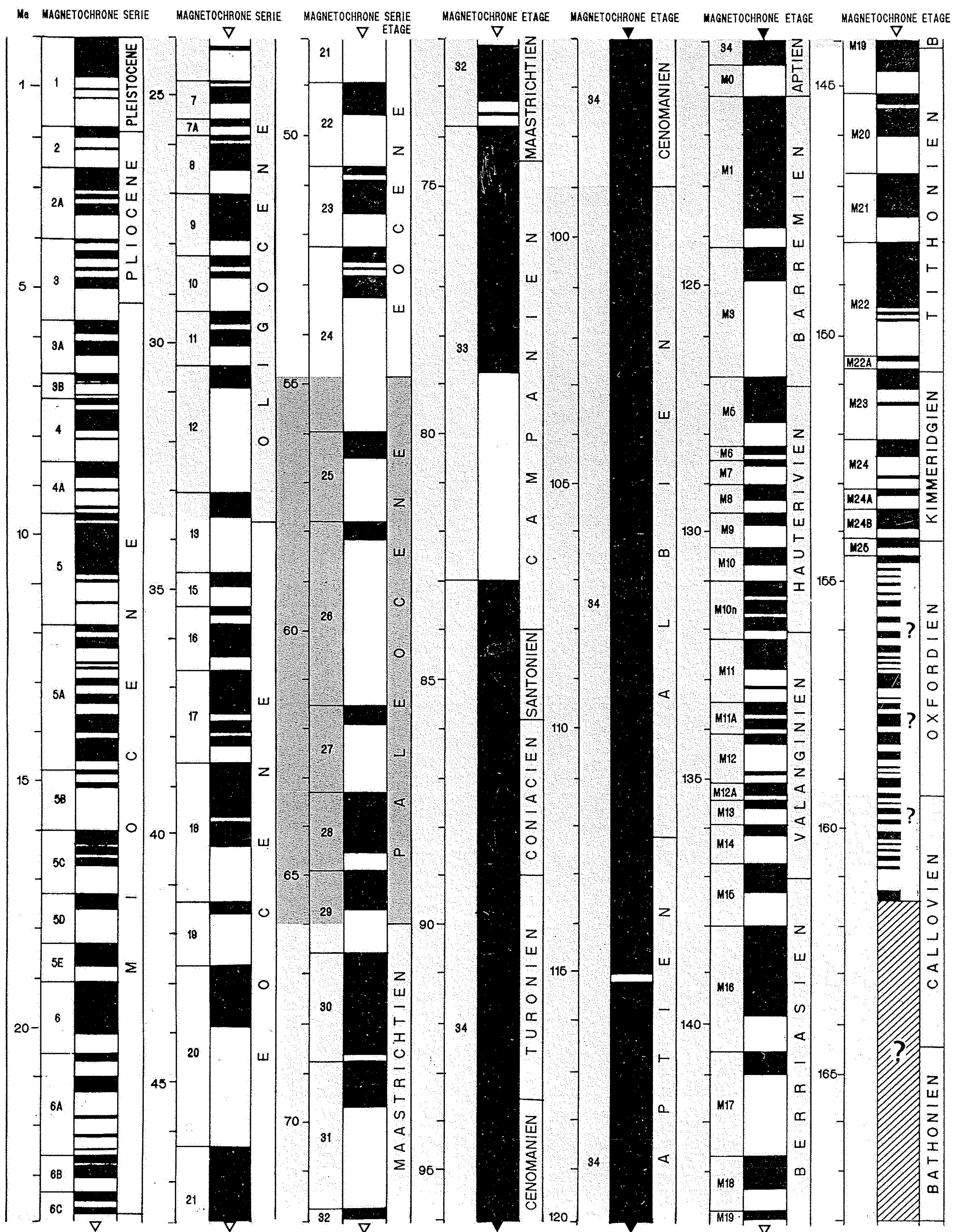
Radioaktivní prvek	Konečný produkt	Poločas
Uran $^{238}_{\text{U}}$	Olovo $^{206}_{\text{Pb}}$	4,51 miliardy let
Uran $^{235}_{\text{U}}$	Olovo $^{207}_{\text{Pb}}$	0,713 " "
Thorium $^{232}_{\text{Th}}$	Olovo $^{208}_{\text{Pb}}$	13,9 " "
Rubidium $^{87}_{\text{Rb}}$	Stroncium $^{87}_{\text{Sr}}$	47,0 " "
Draslík $^{40}_{\text{K}}$	Argon $^{40}_{\text{Ar}}$	1,3 " "
Uhlík $^{14}_{\text{C}}$	Dusík $^{14}_{\text{N}}$	5.730 let
Samarium $^{147}_{\text{Sm}}$	Neodymium $^{143}_{\text{Nd}}$	$1,06 \times 10^{11}$ let

miliardy let	objekt	$\frac{206_{\text{Pb}}}{204_{\text{Pb}}}$	$\frac{207_{\text{Pb}}}{204_{\text{Pb}}}$	$\frac{208_{\text{Pb}}}{204_{\text{Pb}}}$
4,5	meteorit (Canyon Diablo)	9,61	10,39	29,87
3,5-3,1	nejstarší rudní olovo	12,58	14,18	32,59
0,27	příbramské olovo	18,16	15,72	38,24
0,00	současné olovo (Patterson)	18,93	15,74	38,80

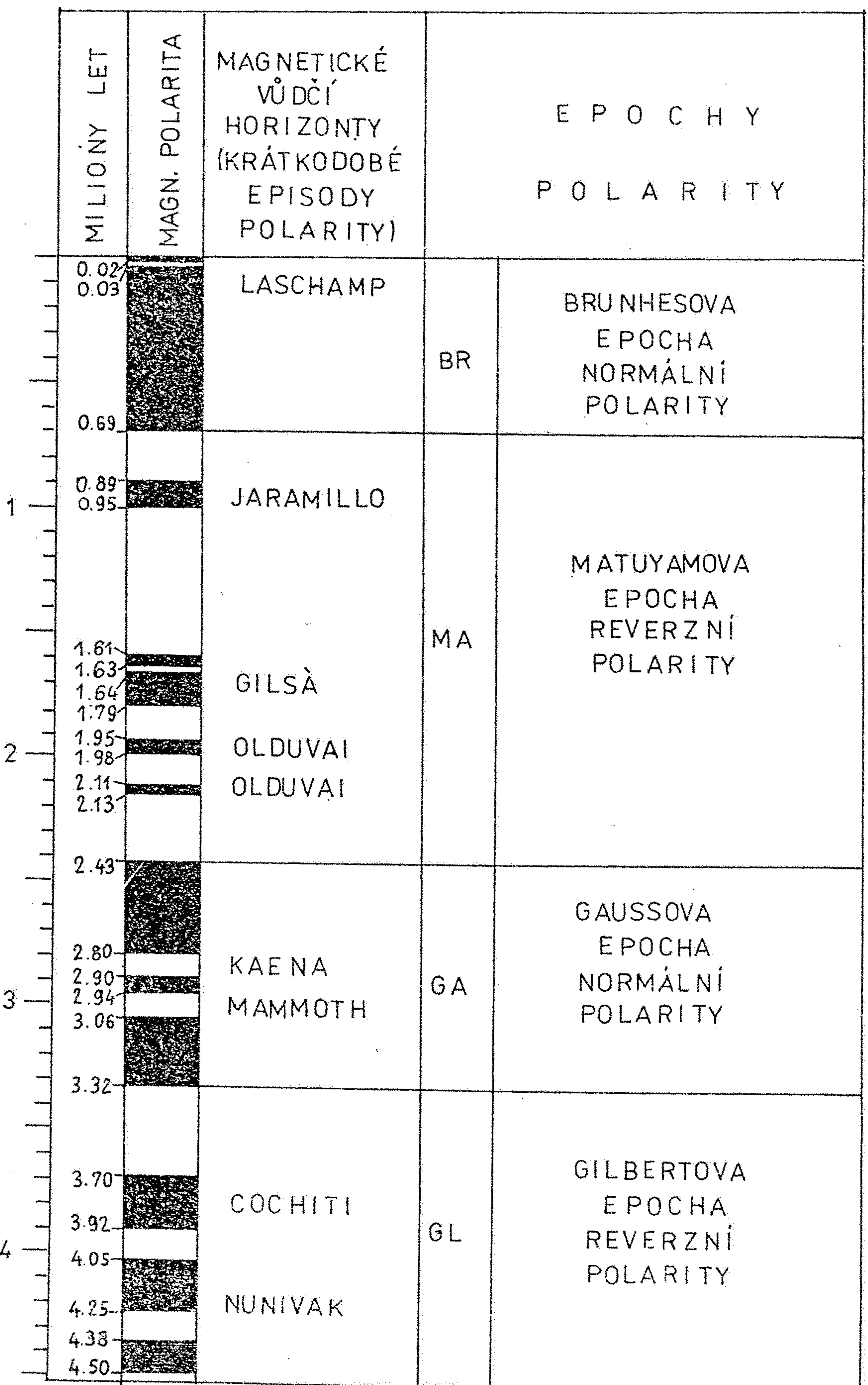


Obr. 156: Příklad Rb/Sr diagramu, kde vzorky horniny se chovají jako uzavřený izotopický systém vůči svému okolí, zatímco izotopické poměry v minerálech byly ovlivněny pozdější metamorfózou. Izochrona sestavená ze vzorků horniny udává stáří krytalizace horniny např. (stáří intruze), izochrona sestavená z minerálů pozdější metamorfní přepracování.

GÉOCHRONIQUE



Cette planche présente les correspondances actuellement admises, entre les âges absolus (1^{re} colonne), la numérotation des magnétochrones (2^e colonne), la succession des polarités magnétiques (3^e colonne : en noir la polarité normale, en blanc la polarité inverse) et les divisions stratigraphiques classiques. Maquette B. Galbrun et M. Petzold.



D ü l Č s. A r m á d a

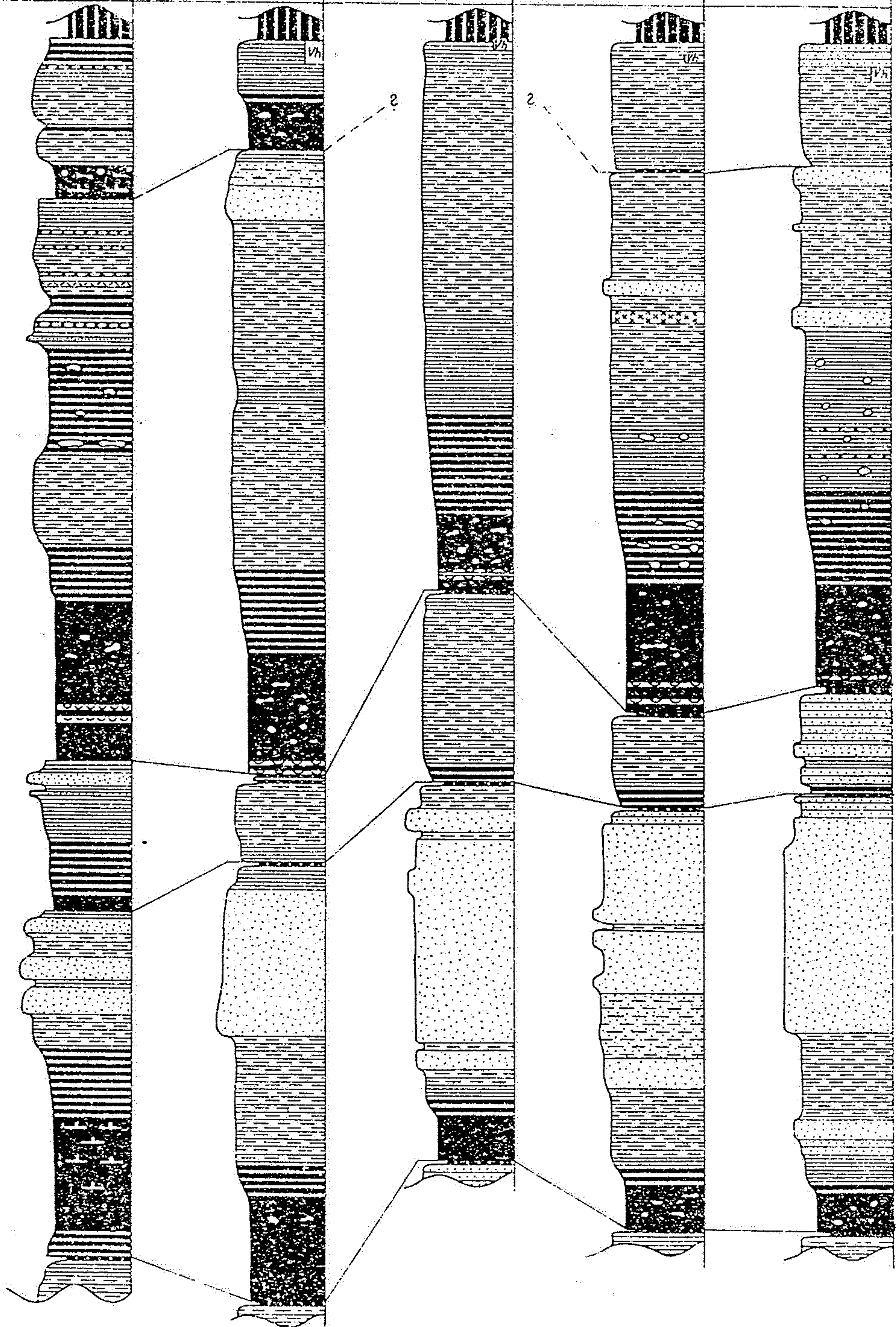
1/72

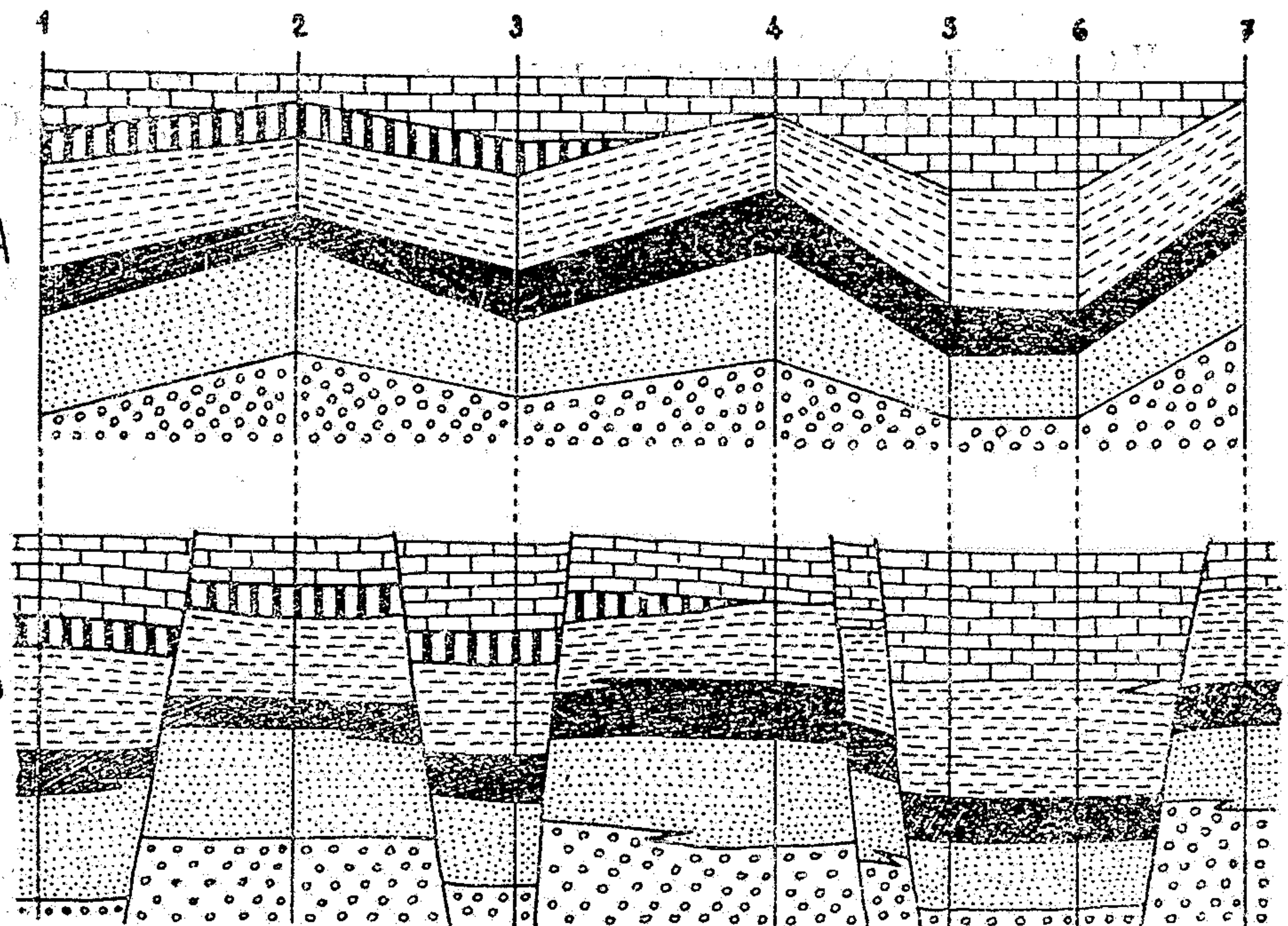
75/73

83/73

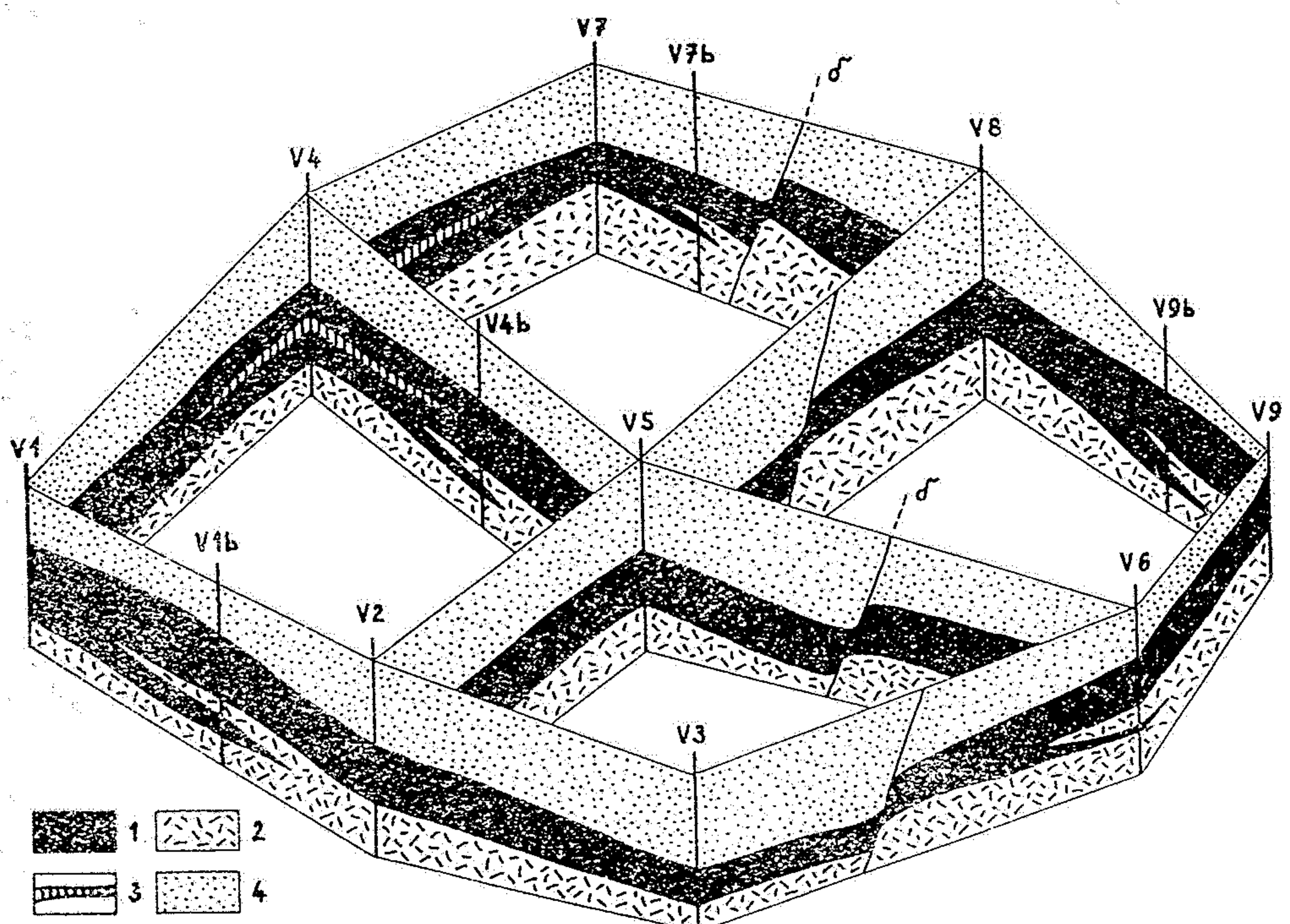
84/74

85/75





Litostratigrafická korelace: A - formální; B - geologická (interpretáční); čísla označují jednotlivé opěrné vrty



Model prospekční korelace. Vhodnou kosouhlou projekcí husté vrtné sítě získáme korelační schéma, které poskytuje prostorovou představu o vývoji sedimentárního ložiska. Vysvětlivky: 1 - surovina (diatomit); 2 - prachovce; 3 - jílovce; 4 - pískovce). V1 - V8 opěrné vrty; Vb - doplnkové vrty